

Les oligonucléotides bioconjugués; systèmes supramoléculaires et applications thérapeutiques

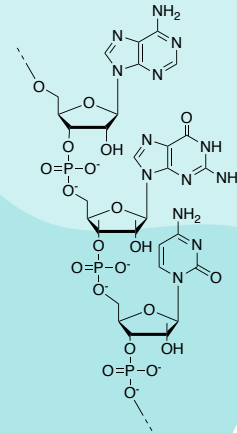
Prof. Philippe Barthélémy
philippe.barthelemy@inserm.fr

ARNA

université
de **BORDEAUX**
Inserm



Unité ARNA, INSERM U1212 / UMR CNRS 5320
<https://arna.cnrs.fr>
Equipe ChemBioPharm
<http://chembiopharm.fr>



Déclaration des liens d'intérêt

- Moderna
- Presans
- Amgen
- Novartis

Cette présentation peut contenir des données hors AMM





Résumé

1

**INTRODUCTION
CONTEXTE**

4

ASO DELIVERY

2

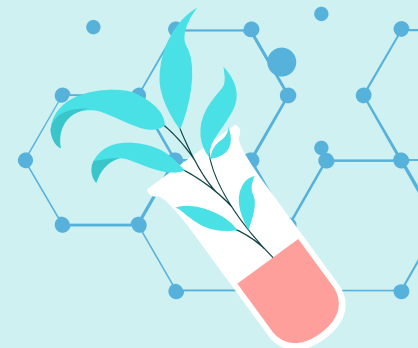
**CHIMIE DES
CONJUGUES**

5

**CHIMIE
SUPRAMOLAIRES DES
CONJUGUES**

3

**APPLICATIONS
THERAPEUTIQUES**

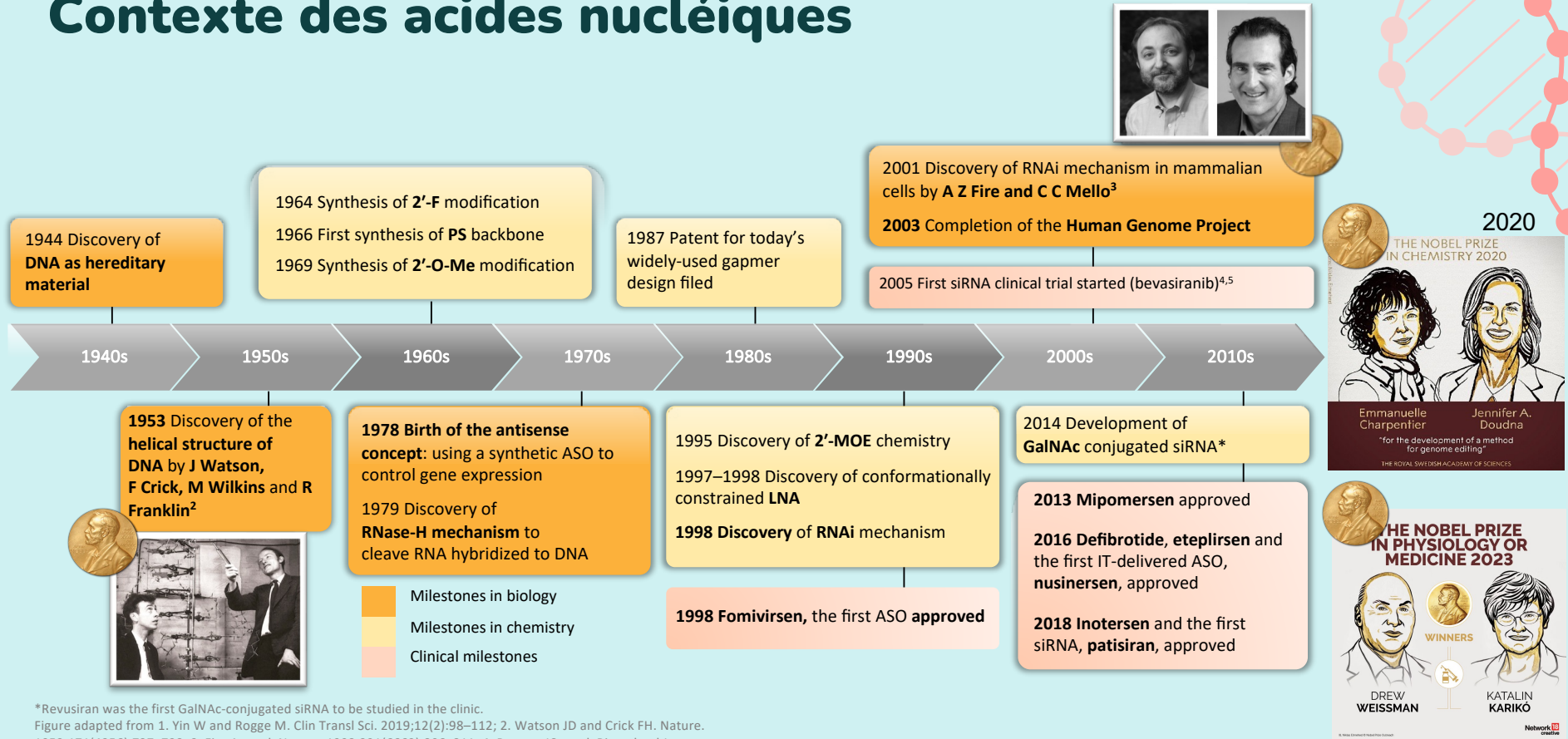


01

INTRODUCTION CONTEXTE

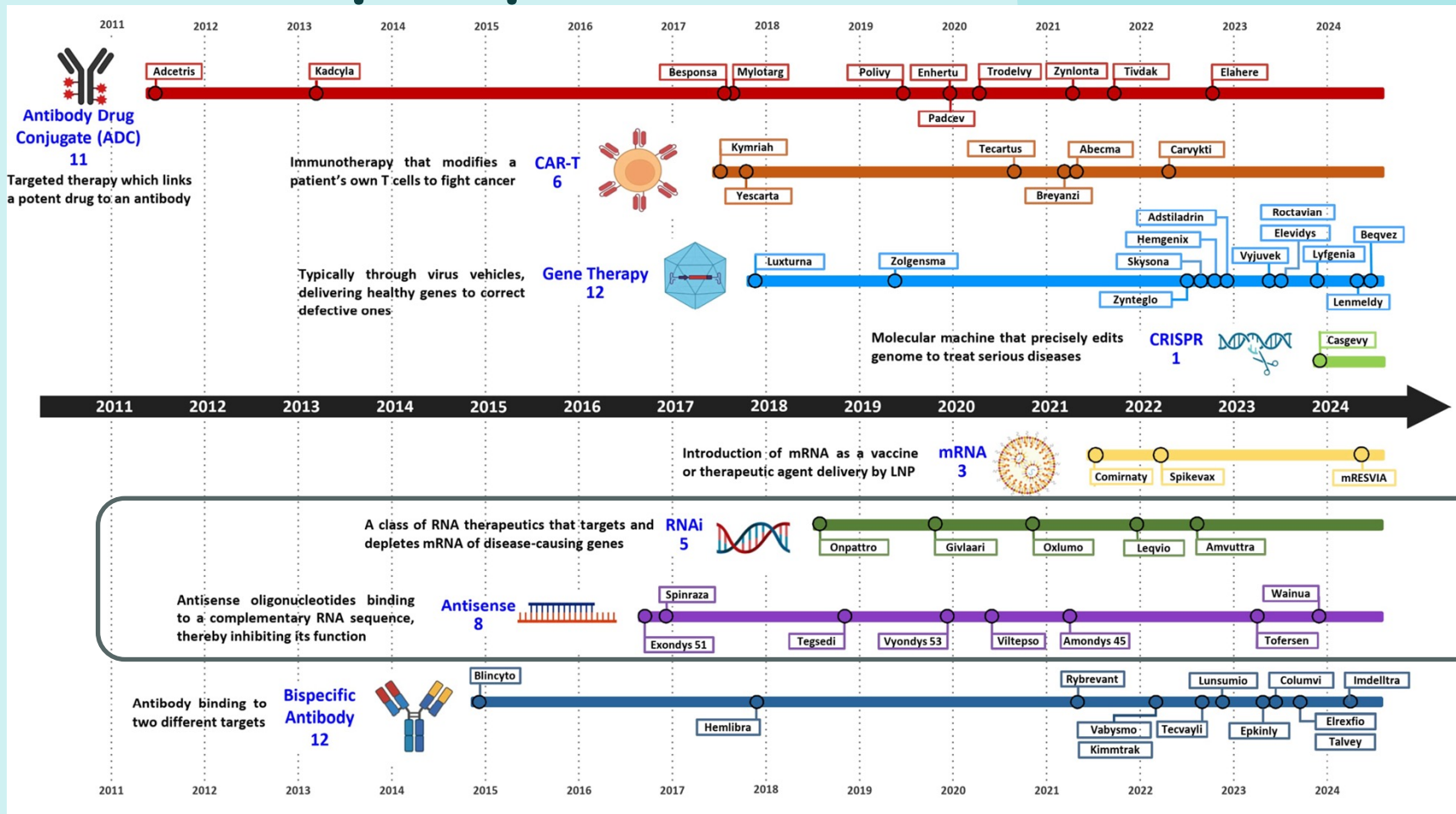


Contexte des acides nucléiques

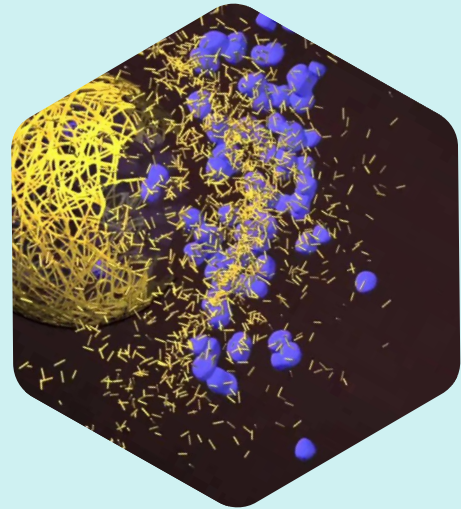


*Revusiran was the first GalNAc-conjugated siRNA to be studied in the clinic.
 Figure adapted from 1. Yin W and Rogge M. Clin Transl Sci. 2019;12(2):98–112; 2. Watson JD and Crick FH. Nature. 1953;171(4356):737–738; 3. Fire A, et al. Nature. 1998;391(6669):806–811; 4. Burnett JC, et al. Biotechnol J. 2011;6(9):1130–1146; 5 <https://clinicaltrials.gov/ct2/show/NCT00259753>. (Accessed 20 Sept, 2022).

Modalités thérapeutiques

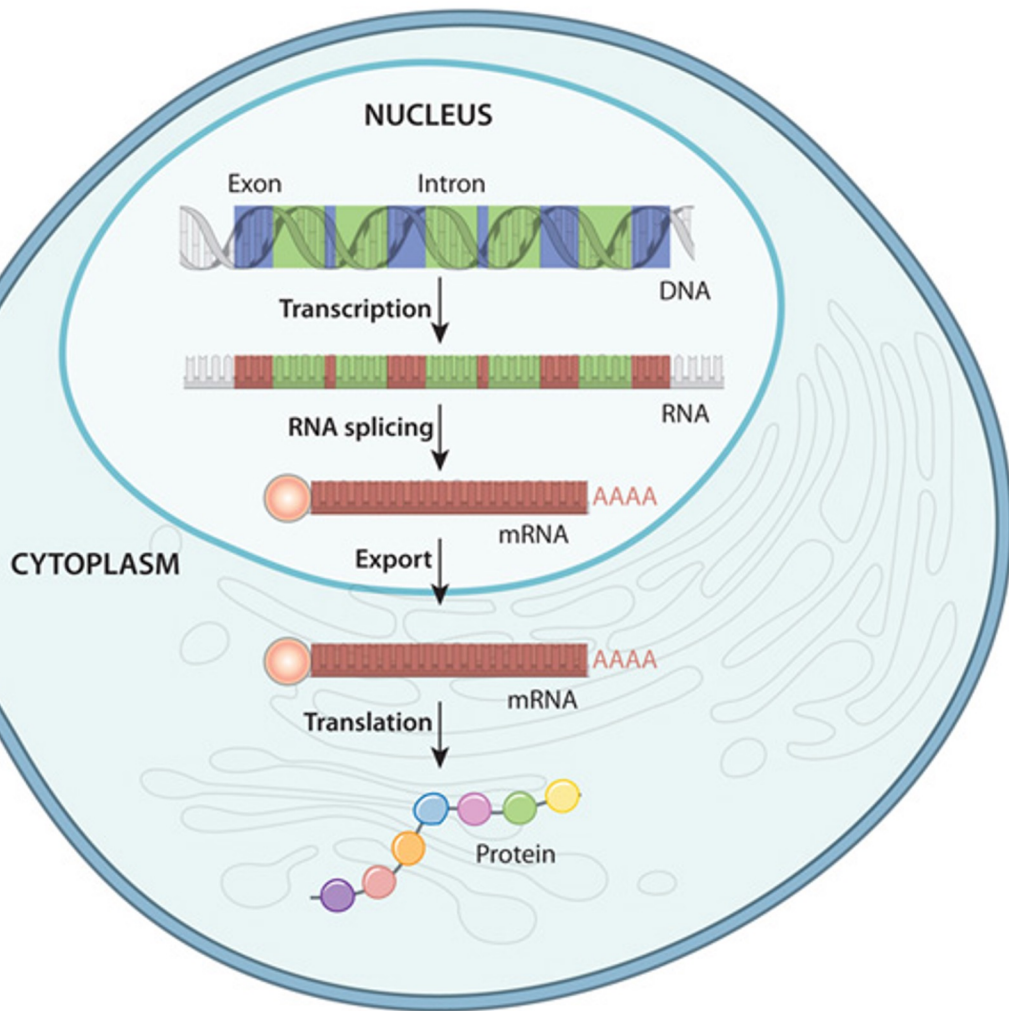


MECANISMES BIOLOGIQUES



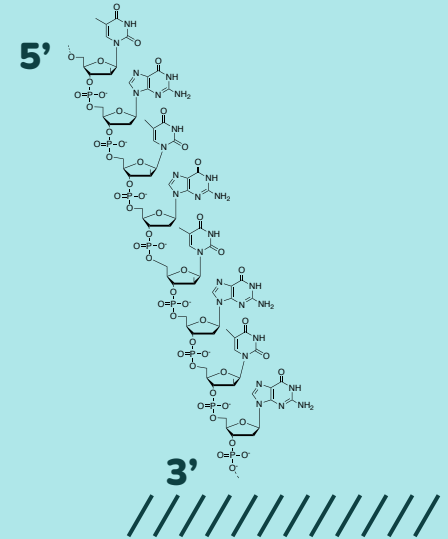
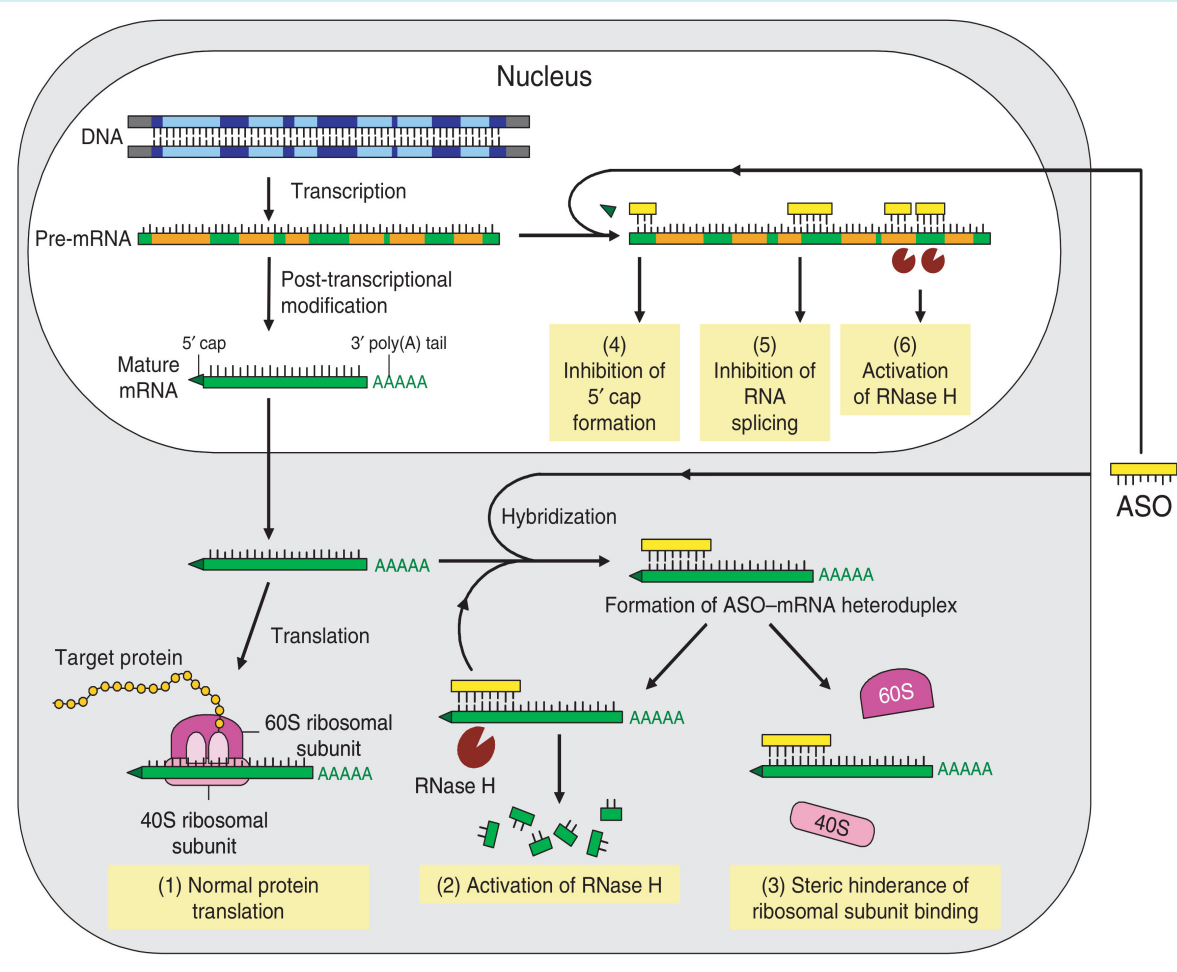
Expression génétique chez un eucaryote

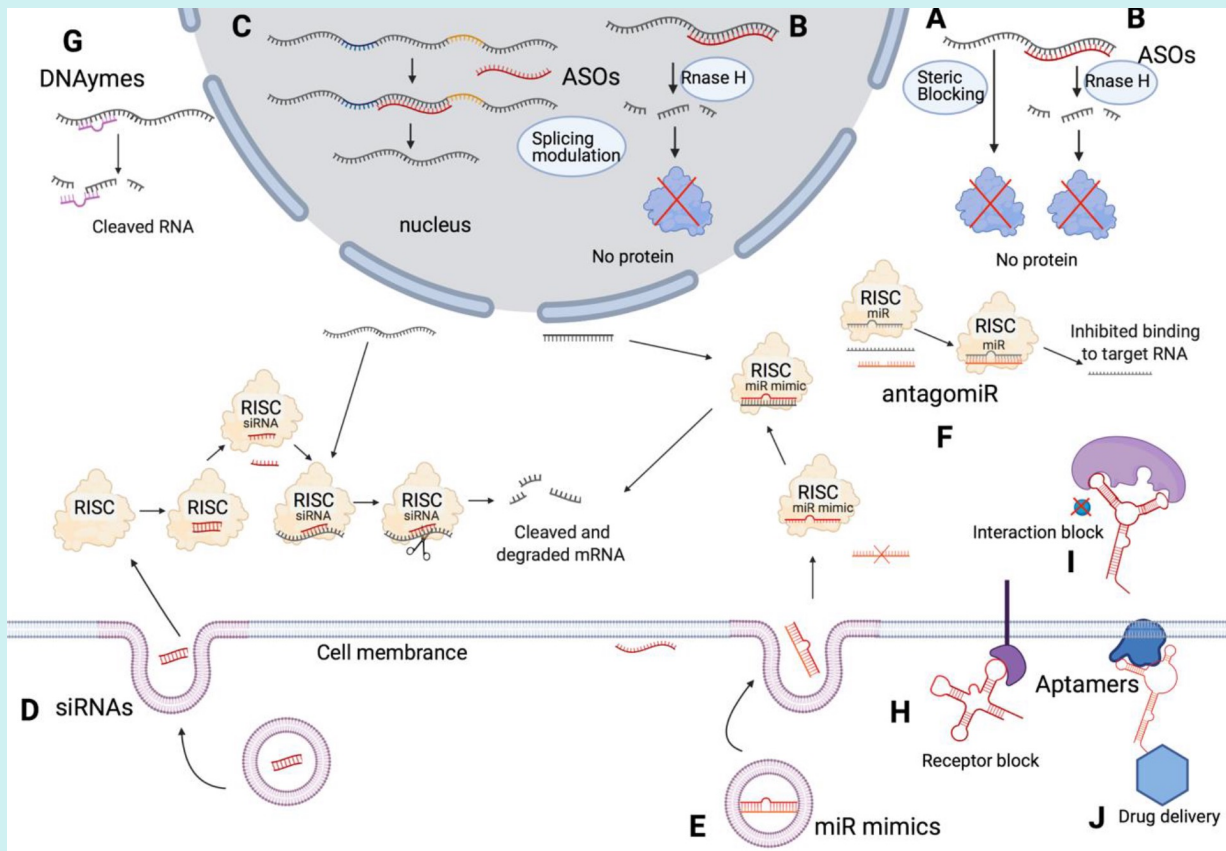
=> l'ADN est transcrit en ARNm. Certaines régions sont supprimées (introns) lors du traitement initial de l'ARNm. Les exons restants sont ensuite épissés ensemble et la molécule d'ARNm épissée (rouge) est préparée pour être exportée hors du noyau grâce à l'ajout d'un embout (sphère) et d'une queue polyA. Une fois dans le cytoplasme, l'ARNm est traduit en protéine via les ribosomes



ANTISENS (ASO)

=> Un antisens est un oligonucléotide simple brin spécifique de la séquence de l'ARN messager qu'il cible



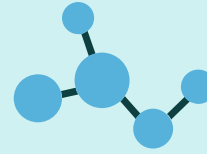


**Nombreux
mécanismes
Possibles !**

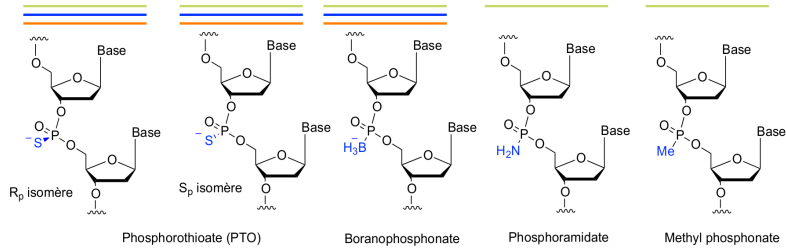
Exemples : Oligonucléotides Thérapeutiques en Oncologie



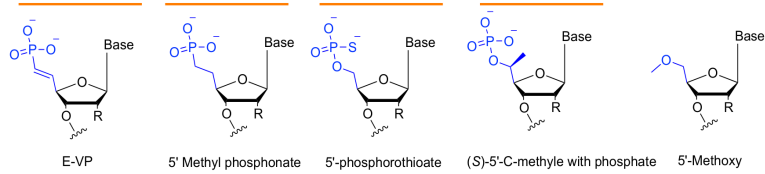
Modifications chimiques



Phosphate backbone modification

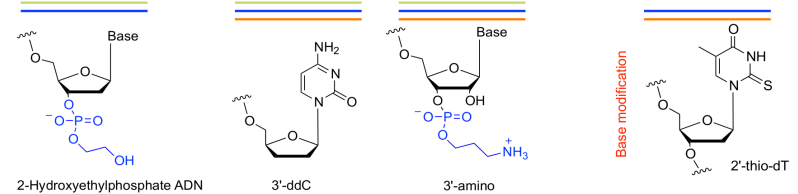


5' phosphate stabilization

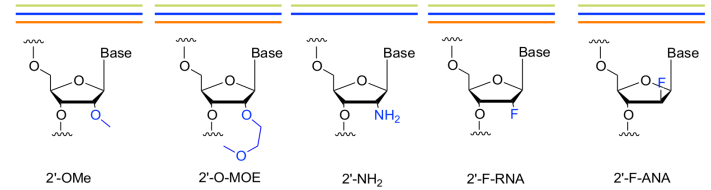


— Steric blockers
— RNase H
— RNAi

3' phosphate stabilization

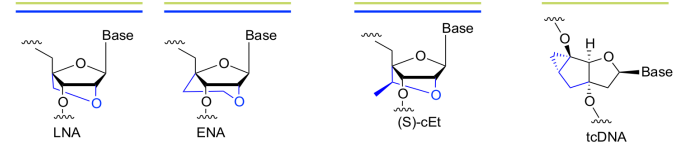


2'-modifications

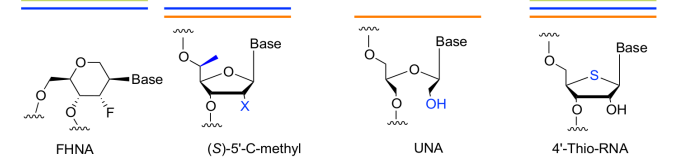


Sugar modification

Constrained nucleotides



Other modified sugars

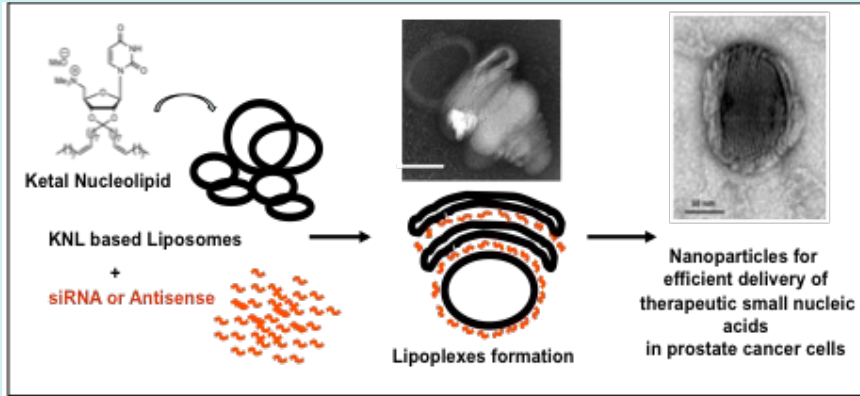


⇒ **Stabilité**
 ⇒ **Modulation du mécanisme d'action**
 ⇒ **« Delivery »**

⇒ « Delivery »

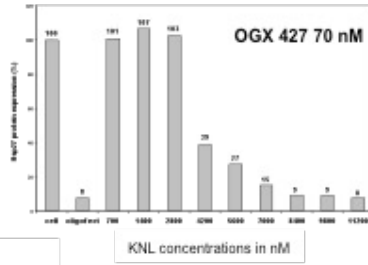
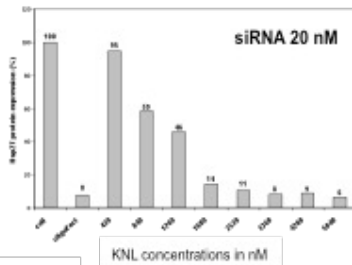
Target: Prostate Cancer

Therapeutic oligonucleotides : siRNA, ASO



Hsp27 protein, 27 kD

Hsp27 protein, 27 kD



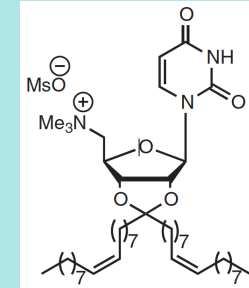
Heat Shock Protein 27 (Hsp27) is overexpressed in Castrate-Resistant Prostate Cancer

High efficacy of Transfection siRNA / ASO for Hsp27
Low toxicity

Luvino et al. Journal of Controlled Release 172 (2013) 954–961

LNPs

Formulations Conjugués Nucleolipides cationiques



SNALPs*

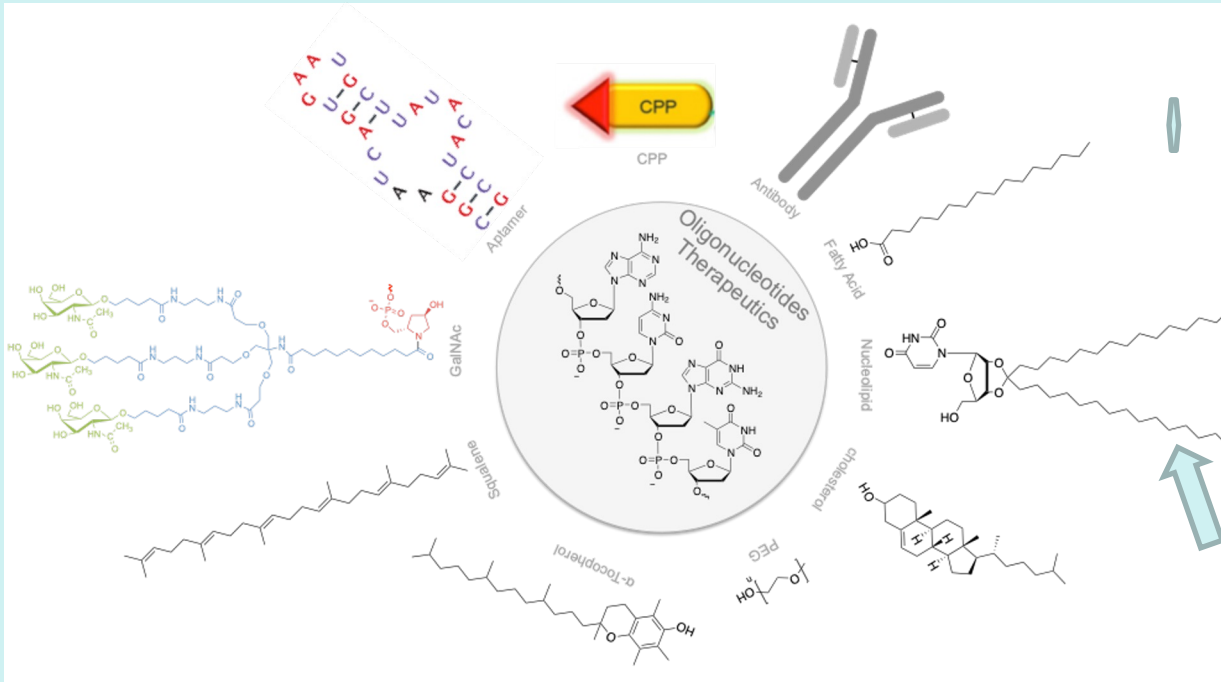
***Stable Nucleic Acid Lipid Particles**



⇒ « Delivery »

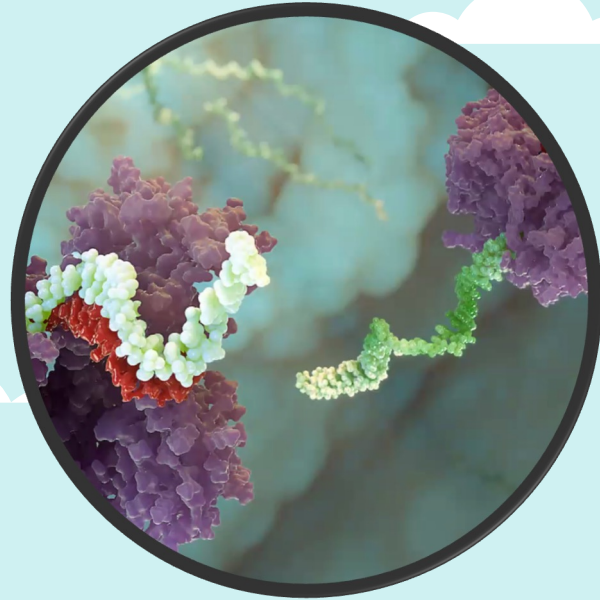
Bio-conjugués

Molécules hybrides de synthèse



02

CHIMIE DES CONJUGUÉS

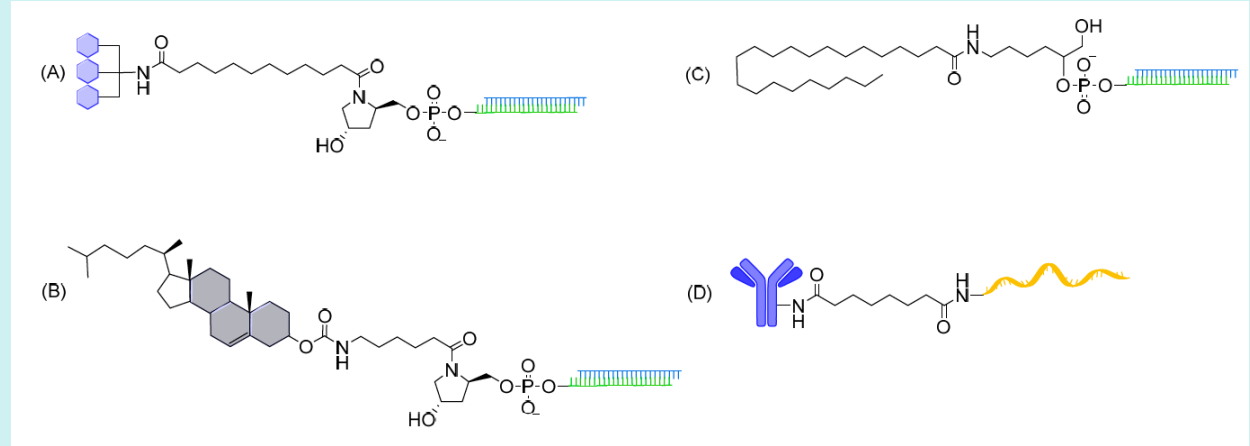


CHIMIE DES CONJUGUÉS

Challenges et opportunités

- ✓ - Biodélivrance
- ✓ - Ciblage
- ✓ - Multimodalités
- ✓ - Stabilité

Exemples de structures

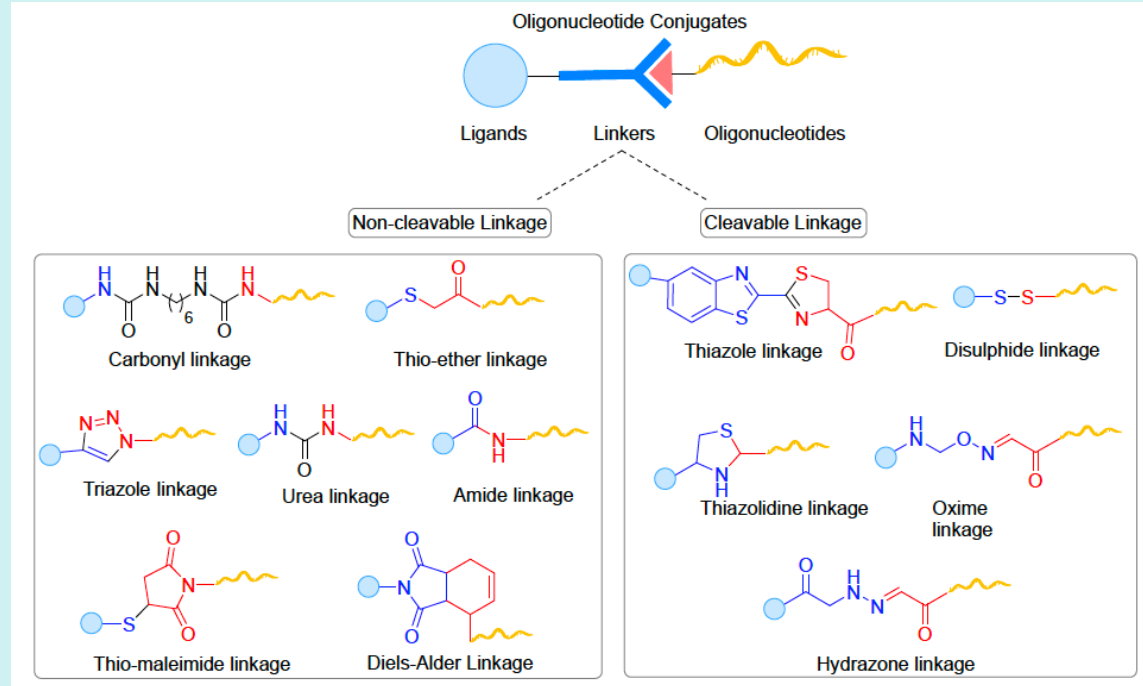


CHIMIE DES CONJUGUÉS

Choix du linker

Challenges et opportunités

- ✓ - Biodélivrance
- ✓ - Ciblage
- ✓ - Multimodalités
- ✓ - Stabilité

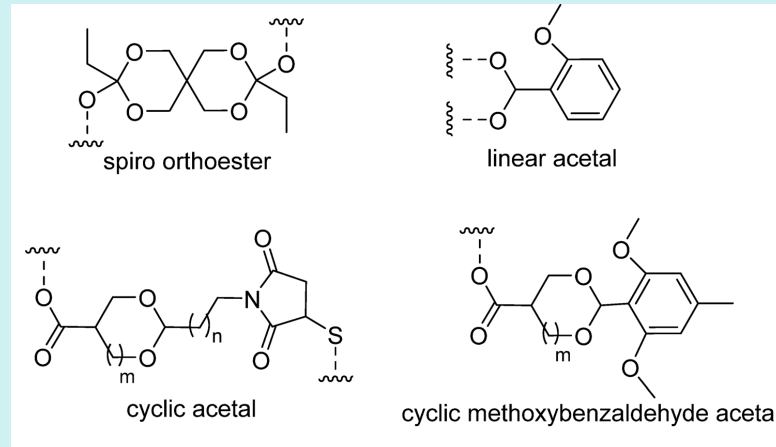
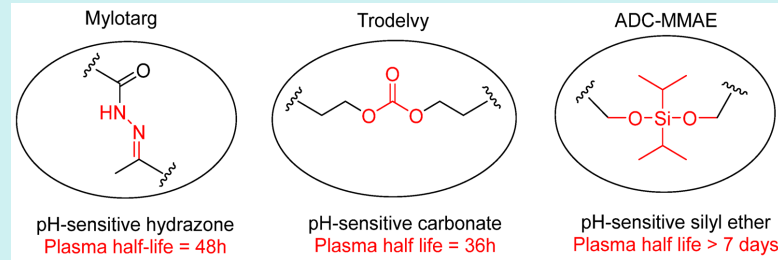


CHIMIE DES CONJUGUÉS

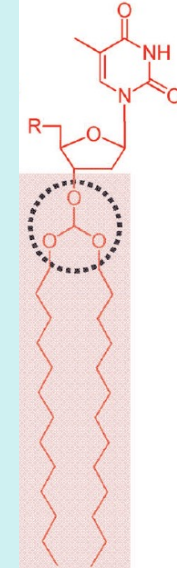
Challenges et opportunités

- ✓ - Biodélivrance
- ✓ - Ciblage
- ✓ - Multimodalités
- ✓ - Stabilité

Chimie pH sensible



Choix du linker



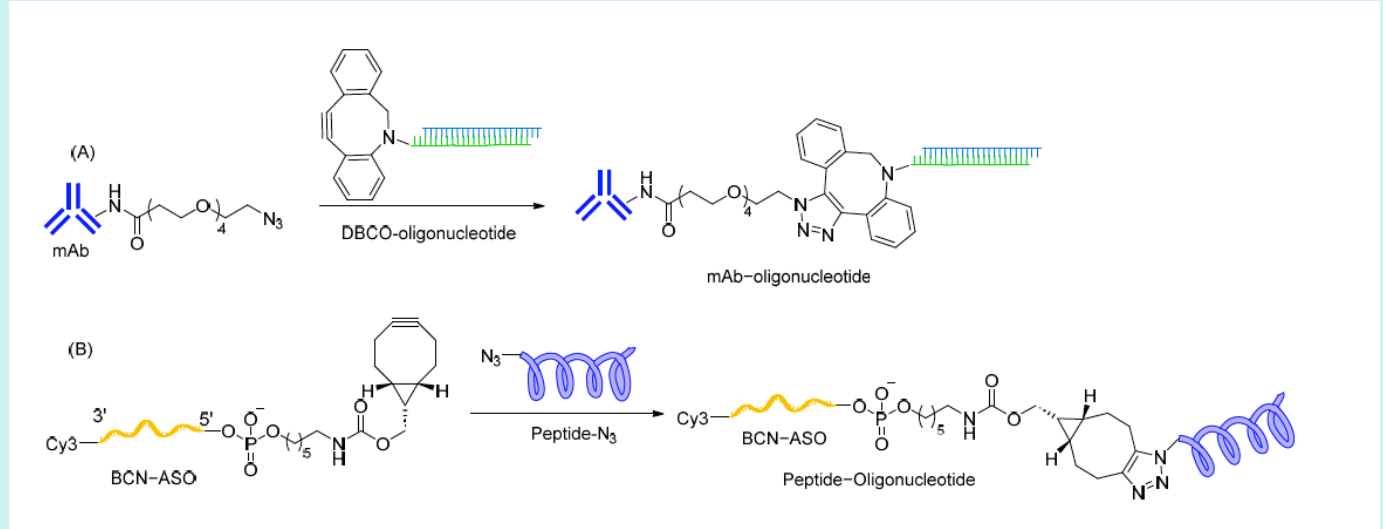
Barthélémy. *et al.* *PCT* 2015,
Oumzil *et al.* *ChemMedChem* 2015

CHIMIE DES CONJUGUÉS

Challenges et opportunités

Chimie click (DBCO)

- ✓ - Biodélivrance
- ✓ - Ciblage
- ✓ - Multimodalités
- ✓ - Stabilité

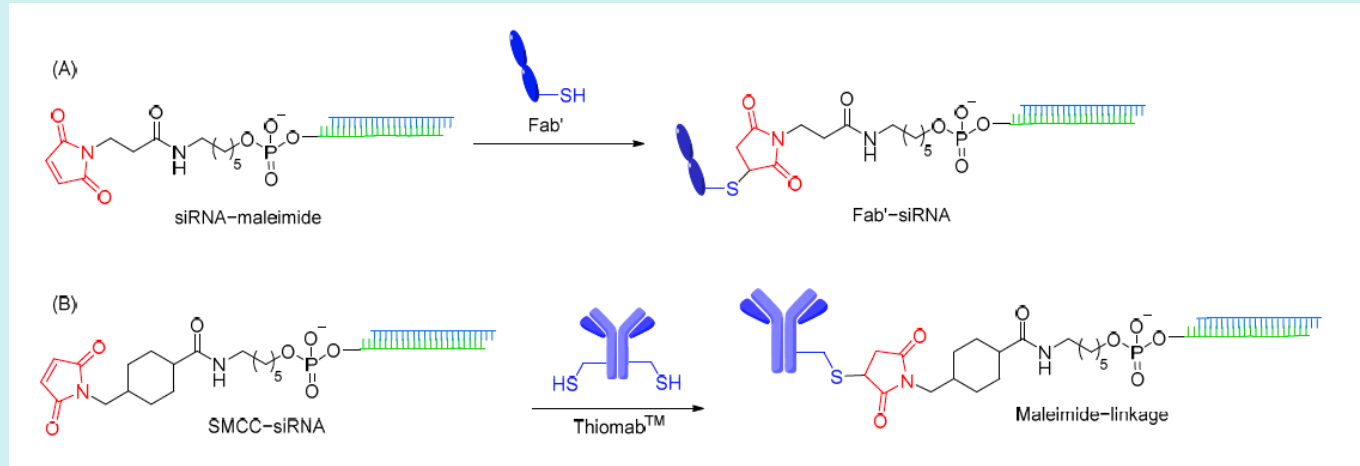


CHIMIE DES CONJUGUÉS

Challenges et opportunités

- ✓ - Biodélivrance
- ✓ - Ciblage
- ✓ - Multimodalités
- ✓ - Stabilité

Maléimide

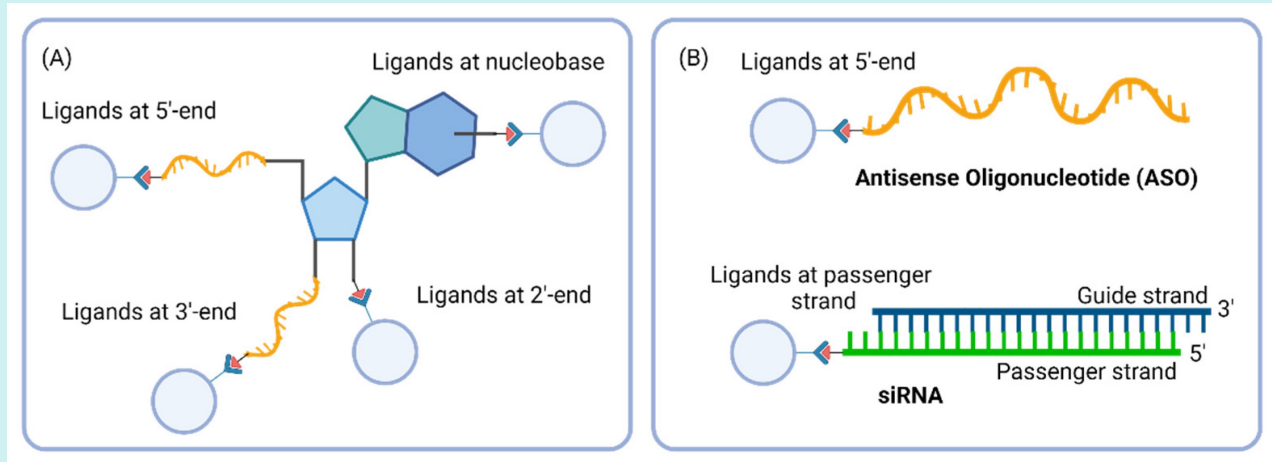


CHIMIE DES CONJUGUÉS

Challenges et opportunités

- ✓ - Biodélivrance
- ✓ - Ciblage
- ✓ - Multimodalités
- ✓ - Stabilité

Position ?



CHIMIE DES CONJUGUÉS

Challenges et opportunités

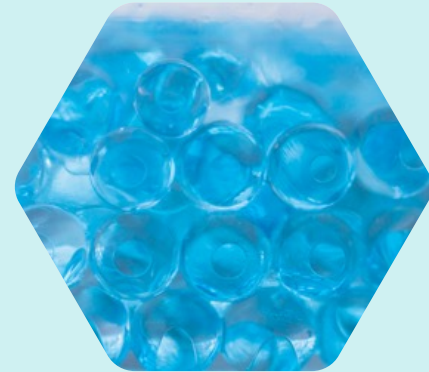
Avantages / Inconvénients

- ✓ - Biodélivrance
- ✓ - Ciblage
- ✓ - Multimodalités
- ✓ - Stabilité

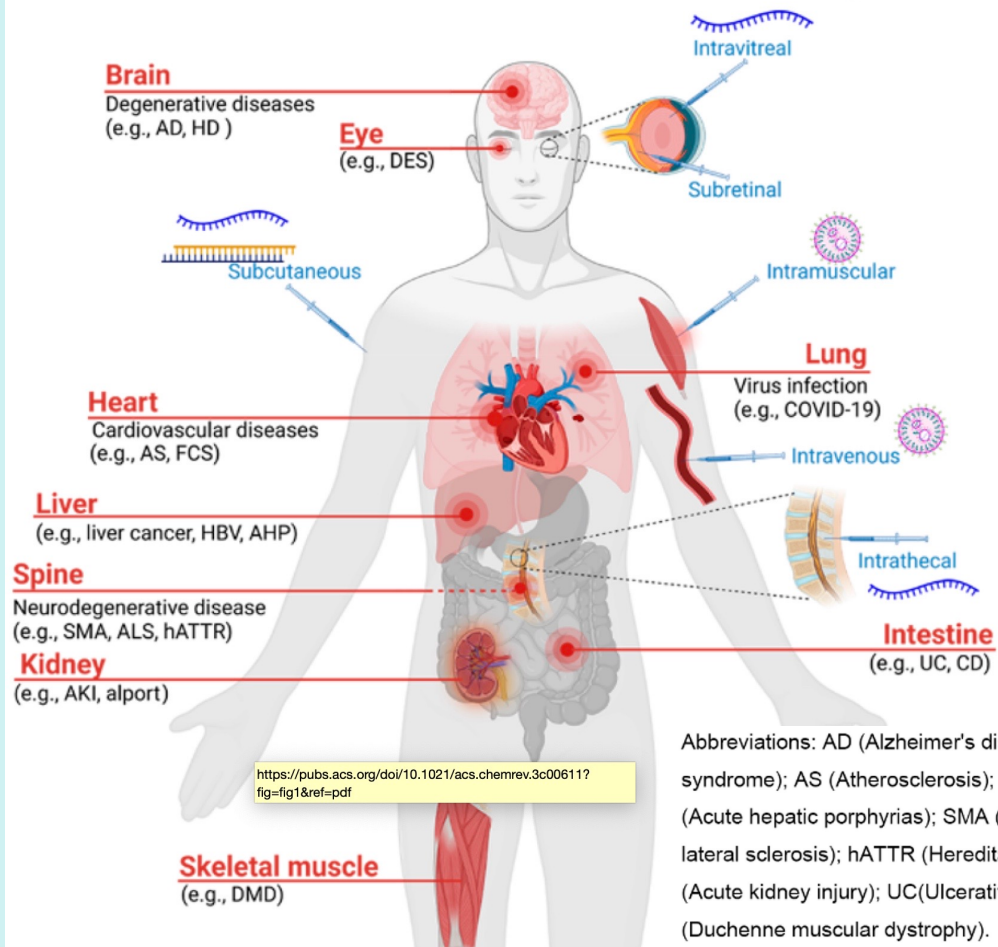
Stepwise Solid-Phase Synthesis		
Conjugation via	Advantages	Disadvantages/Limitations
Bifunctional or trifunctional linker	<ul style="list-style-type: none">• Absence of time-consuming isolation/purification of both peptide (P) and oligonucleotide (O) fragments• No excess of either P or O fragment—less solubility problems• May be convenient for peptide-PNA conjugates (P-PNAs) due to protecting group compatibility	<ul style="list-style-type: none">• Poor compatibility of P and O chemistries: the need to design a suitable protecting group scheme.• Attachment of limited number of amino acids without side-chain protection• Difficulty synthesizing longer than medium-length conjugates
Post-Synthetic Conjugation		
Conjugation via	Advantages	Disadvantages/Limitations
Thioether or disulfide bond Native ligation Oxime, thiazolidine, or hydrazone linkage Amide bond formation Click chemistry Diels-Alder reaction	<ul style="list-style-type: none">• Many suitable conjugation procedures available• Many reagents for functionalization of either fragment available• No problem with incompatibility of the two chemistries• Conjugation of peptides with any amino acid composition• Conjugation of peptides of almost any length (up to proteins)	<ul style="list-style-type: none">• Separate multistep preparation and purification of both fragments• Reaction in aqueous solvents• Solubility problems with polycationic or highly hydrophobic peptides

03

APPLICATIONS THERAPEUTIQUES

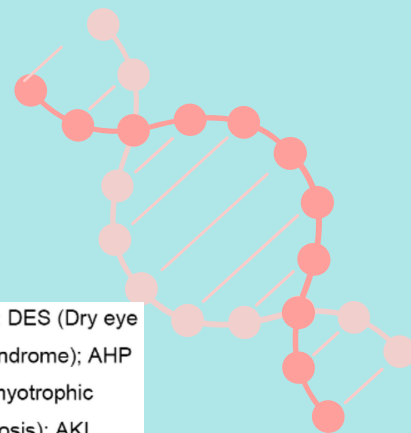


Chemical modifications for better RNA therapeutics

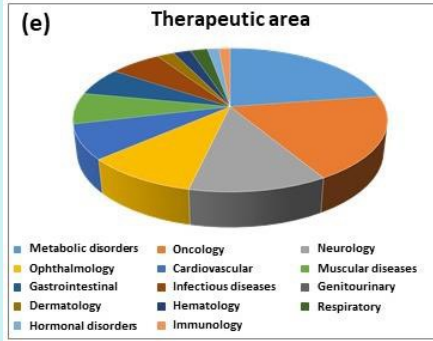
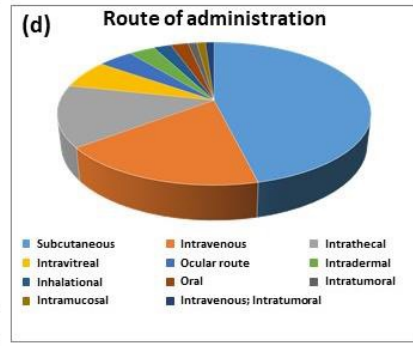
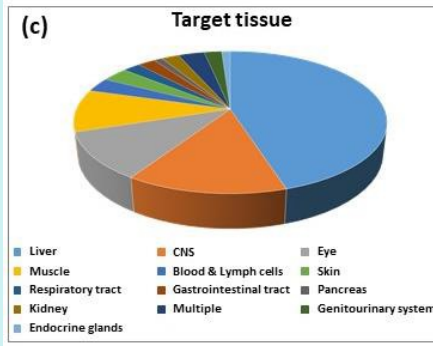
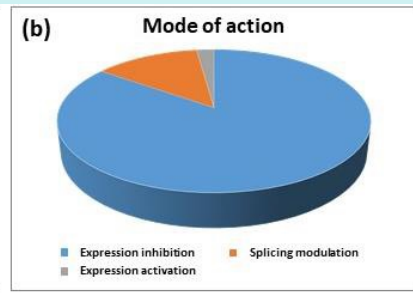
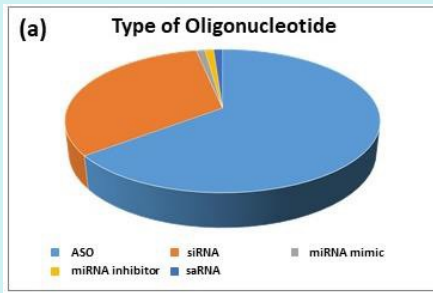
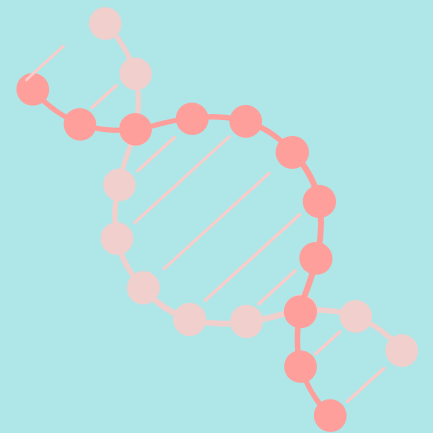


Abbreviations: AD (Alzheimer's disease); HD (Huntington's disease); DES (Dry eye syndrome); AS (Atherosclerosis); FCS (Familial chylomicronemia syndrome); AHP (Acute hepatic porphyrias); SMA (Spinal muscular atrophy); ALS (amyotrophic lateral sclerosis); hATTR (Hereditary transthyretin-mediated amyloidosis); AKI (Acute kidney injury); UC(Ulcerative colitis); CD (Crohn's disease); DMD (Duchenne muscular dystrophy).

Applications thérapeutiques



Applications thérapeutiques



Plus de 40 oligonucleotides en développement clinique

Médicaments



ASO 1998
CMV Retinitis



Aptamer 2004
Age-Related Macular Degeneration (AMD)



ASO 2013
Familial Hypercholesterolemia



SSO 2016 SSO 2019
Duchenne Muscular Dystrophy



SSO 2016
Spinal Muscular Atrophy



Vaccine Adjuvant 2017
HBV



siRNA 2018
TTR Polyneuropathy



ASO 2018
TTR Polyneuropathy

waylivra®
(volanesorsen) injection
ASO 2019 EU
Familial Chylomicronemia Syndrome



siRNA 2019
AHP Porphyria



siRNA 2020
Primary Hyperoxaluria type 1



SSO 2020
Duchenne Muscular Dystrophy



SSO 2021
Duchenne Muscular Dystrophy



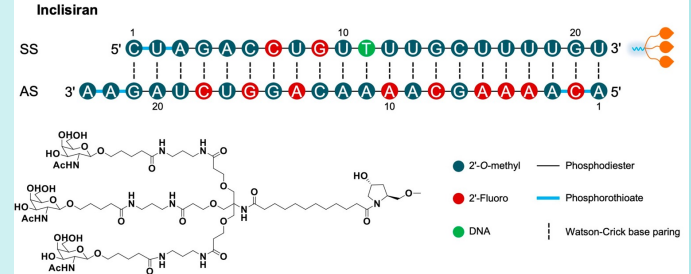
siRNA 2021
LDL-C reduction "siRNA statin"



siRNA 2022
TTR Polyneuropathy



mRNAs 2021/2022
Covid-19 Vaccines



**siRNA targeting
the expression of PSK9**





04

ASO DELIVERY

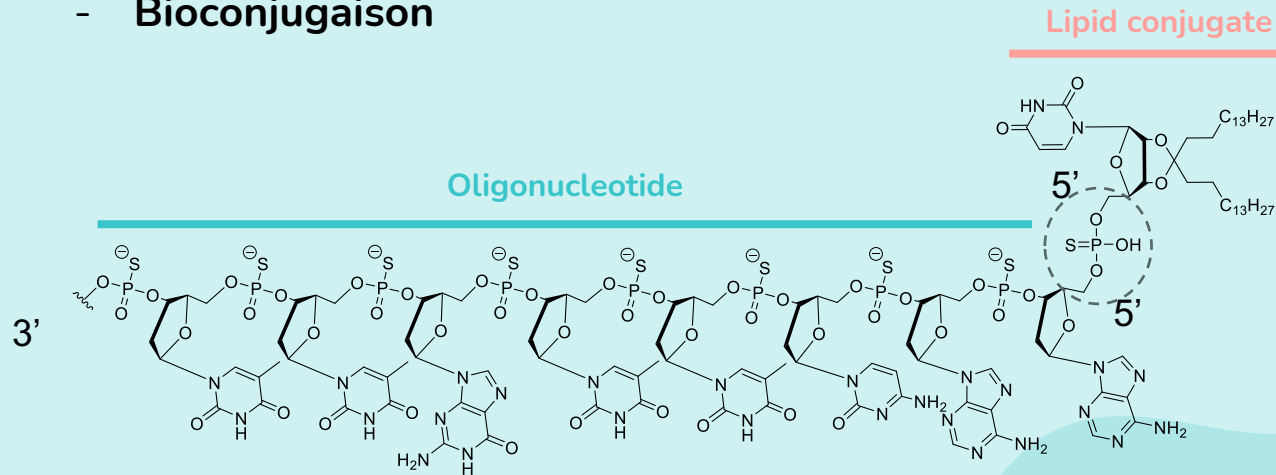


ARNA 

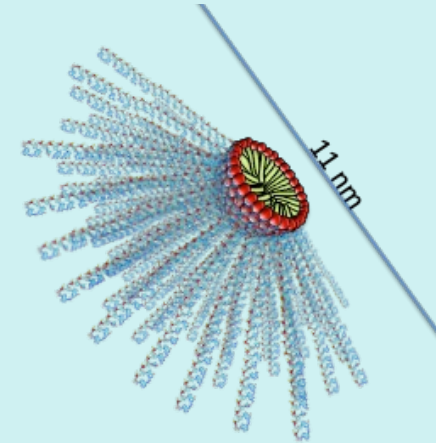
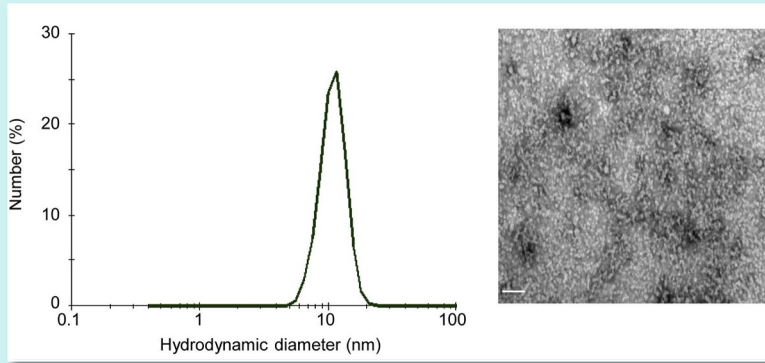
LIPID ANTISENSE OLIGONUCLEOTIDE (L-ASO)

Modifications pour améliorer la biodélivrance et le ciblage cellulaire

- Conjugué lipidiques
- Bioconjugaison



LIPID ANTISENSE OLIGONUCLEOTIDE (L-ASO)



LASO => **Inserm** **Transfert**

- Cancer
- Résistance aux antibiotiques
- Douleur
- Allergies, etc

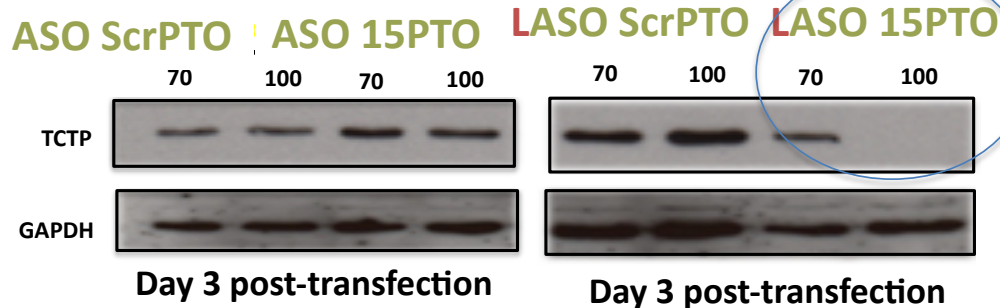
PROSTATE CANCER

ASO => Translationally Controlled Tumor Protein (TCTP)
TCTP est sur exprimé dans les cancers résistants CRPC



Collaboration
Dr. Palma Rocchi
Centre de Recherche en Cancérologie de Marseille
CRCM, Inserm UMR 1068-CNRS UMR 7058

LASO 15 PTO Inhibits TCTP expression



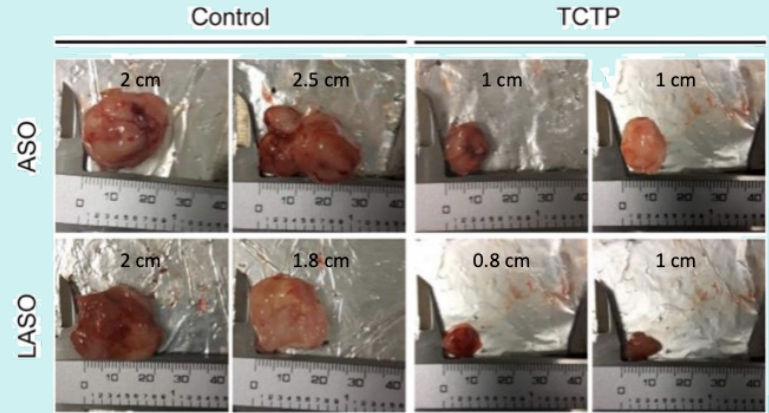
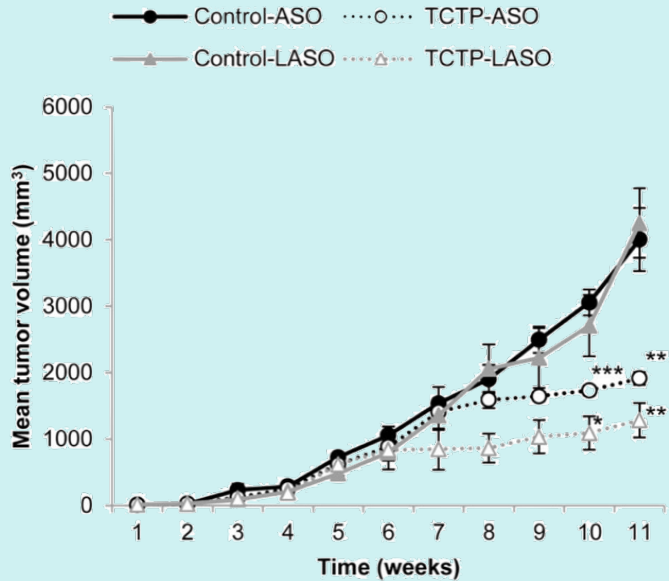
LASO inhibe l'expression de la TCTP sans agent de transfection

Lipid-ASO

Barthélémy *et al.* PCT/IB2013/001516 (2013)
Barthélémy *et al.* PCT/IB2013/001517 (2013)

PROSTATE CANCER

ASO => Translationally Controlled Tumor Protein (TCTP)
TCTP est sur exprimé dans les cancers résistants CRPC



Lipid-ASO

LASO inhibe la croissance tumorale *in vivo*

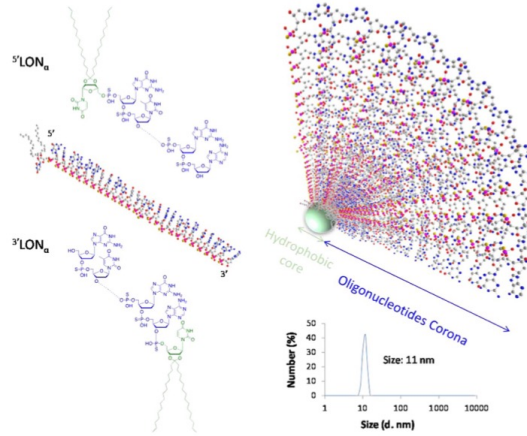
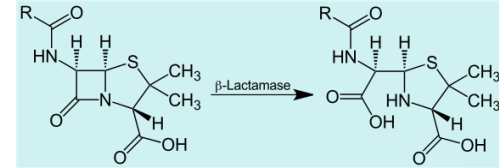


Kauss, T.; Arpin, C.

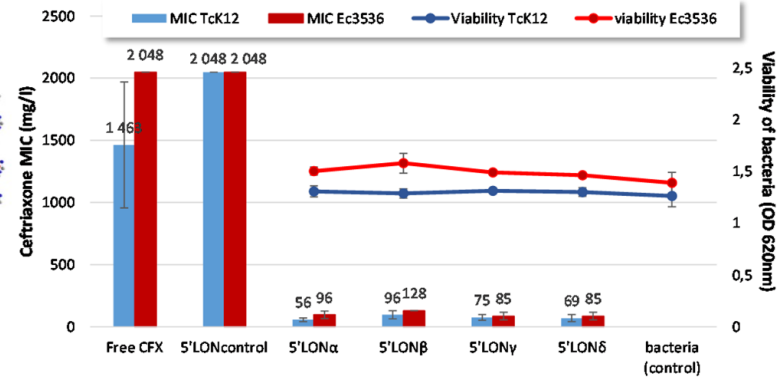
OPEN

Lipid oligonucleotides as a new strategy for tackling the antibiotic resistance

Tina Kauss^{1*}, Corinne Arpin^{2*}, Léa Bientz^{2,3}, Phouc Vinh Nguyen^{1,3}, Brune Vialet¹, Sebastien Benizri¹ & Philippe Barthélémy^{1*}



B Ceftriaxone MIC on laboratory (TcK12) and clinical (Ec3536) resistant strains of *E. coli*



- Biodélivrance des Oligonucleotides dans les cellules procaryotes
- Diminution des concentration minimale inhibitrice (MIC) des bactéries résistantes à la ceftriaxone (céphalosporine de troisième génération)

Traitement de la douleur

3 types de douleur chronique:

- Neuropathique,
- Nociceptive (inflammatoire),
- Dysfonctionnelle.

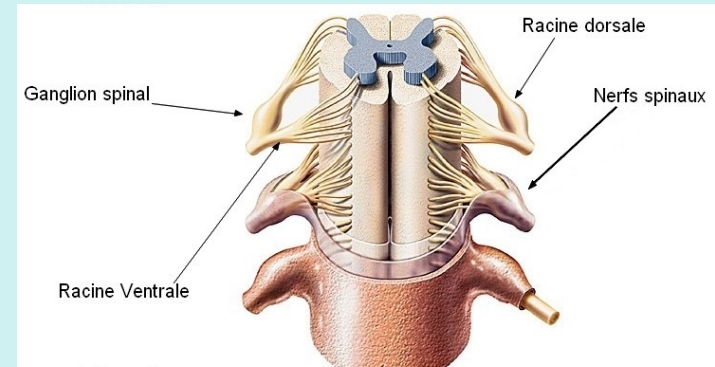
Le ganglion spinal stimule la racine dorsale jusqu'à la moelle épinière

FXD2 est considéré comme un nouveau marqueur limité aux seuls mécanorécepteurs et nocicepteurs des neurones somato sensoriels primaires (Ventéo et al., 2012).

La perte ou la diminution de FXD2 entraîne une réduction drastique ou la perte de douleur chez la souris

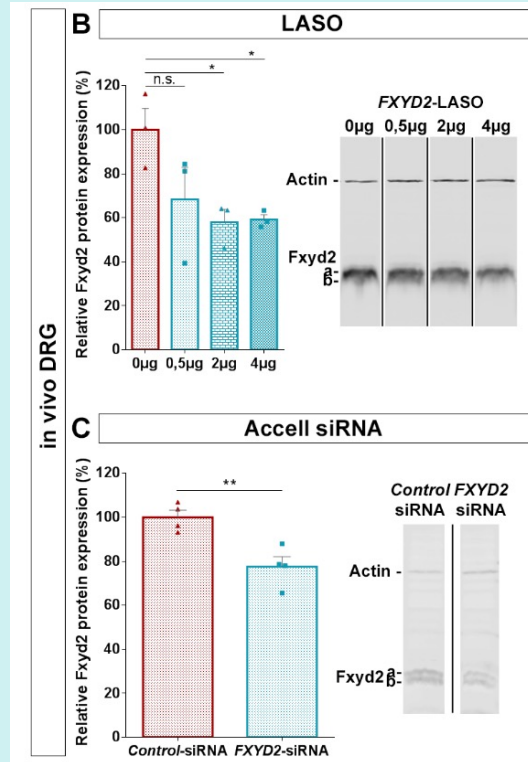
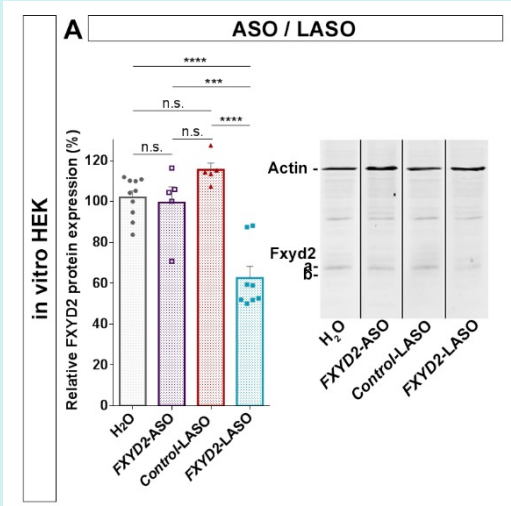


Collaboration Montpellier
Dr Stéphanie Ventéo
Dr Patrick Carroll



Traitement de la douleur

Collaboration Montpellier
Dr Stéphanie Ventéo
Dr Patrick Carroll



L'expression de Fxyd2 peut être inhibée dans les ganglions de la racine dorsale par injection intrathécale d'oligonucléotides antisens sans l'utilisation de réactifs de transfection toxiques.

Western blot
using
a Fxyd2
antibody



Traitement de la douleur

Collaboration Montpellier
Dr Stéphanie Ventéo
Dr Patrick Carroll

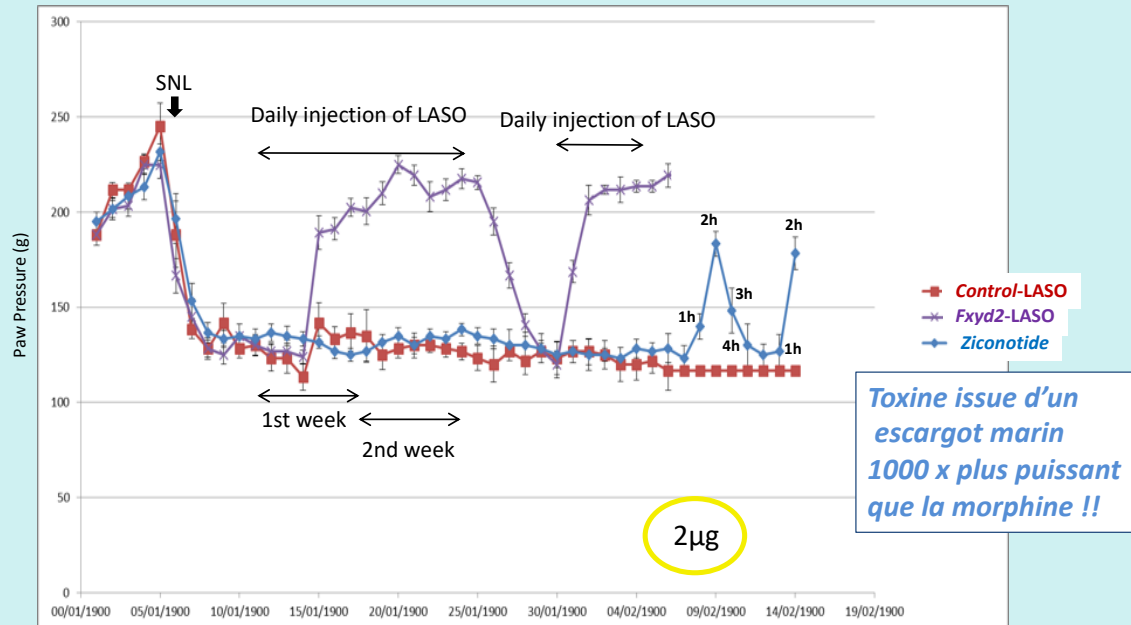


NEUROPATHIC PAIN: LASO vs LScr (IT : 2 μ g)
Comparison with **Ziconotide** (PRIALT)

NEUROPATHIC PAIN: Comparison, *in vivo*, of the analgesic effect of LASO75 at the best determined dose (2 μ g) versus ziconotide versus L-scramble control (2 μ g)

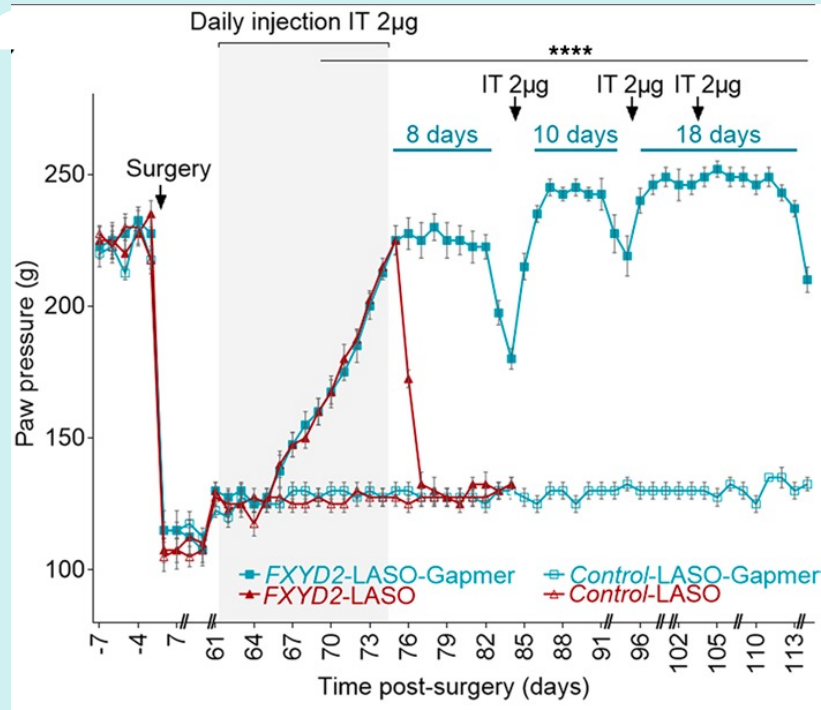
(Daily injection in IT for 14 days, stop 7 days, resumption 7 days)

Randall

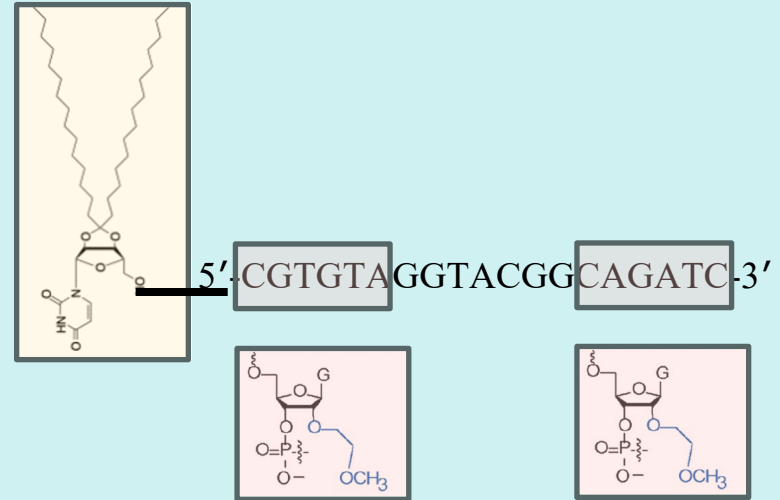


Traitement de la douleur

Collaboration Montpellier
Dr Stéphanie Ventéo
Dr Patrick Carroll

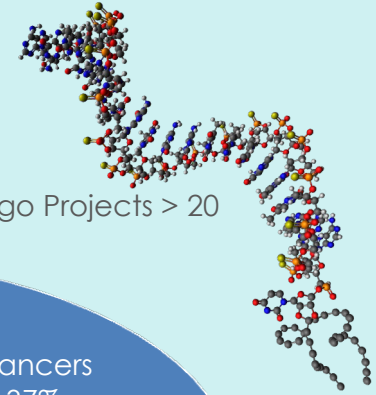


MOE-modified FXYD2-LASO-Gapmer provides long-lasting pain relief in neuropathic pain and inflammatory pain models

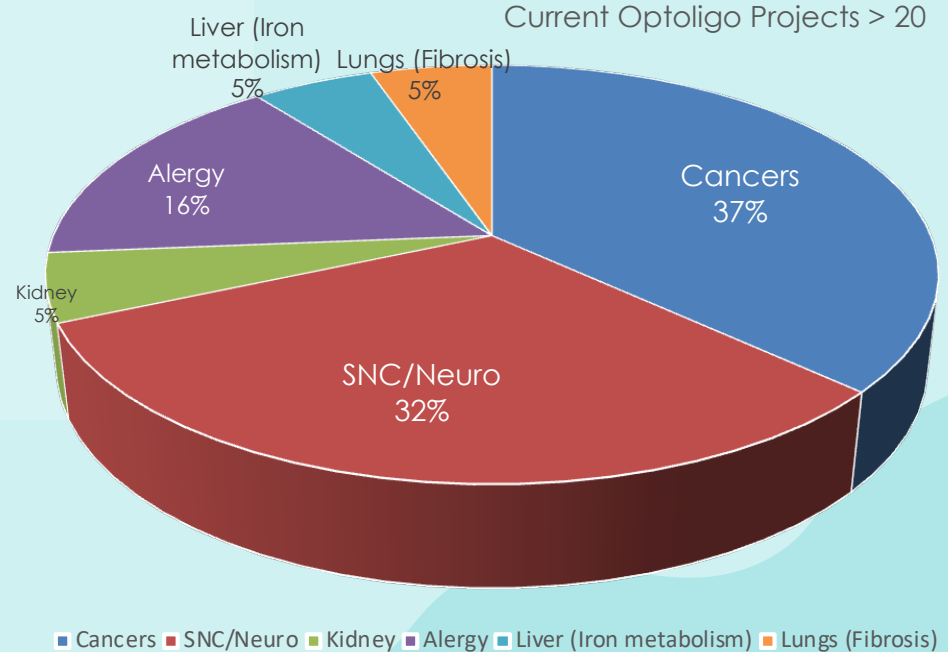


Hub Optoligo

LIPID ANTISENSE OLIGONUCLEOTIDE (L-ASO)

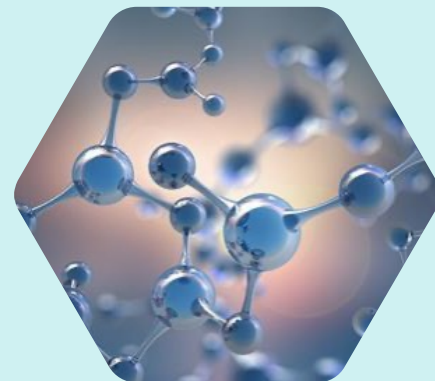


Porteur du projet	Type de pathologie	Organ ciblé	Cible biologique
	Métabolisme du fer (Anémie)	Foie	
	Biosensor, detection cellule souche tumorale	Cancer	
	Fibrose pulmonaire	Poumon	
	Inhibition de la sécrétion histaminique		
	Récepteur IgE		
	Douleur neuropathique et inflammatoire		
	Douleur neuropathique et inflammatoire		
	Cancer	Tumeurs gastro-intestinales	
	néphropathies	Rein	
	Asthme allergique		
		SNC	
	Lymphome T (cancer)	Sang	
	Maladie Parkinson	SNC	
	Antibiorésistance	Bactéries E. coli TCK12	
	Libération prolongée d'oligos		
	cancers of the B lymphoid	primary B cells and plasma cells	
	Cancer	Pancréas	
	Maladie des petits vaisseaux cérébraux	SNC	
	NPC. La maladie de Niemann-Pick de type C (« NPC SNC +		
	Cancer	Prostate	



05

CHIMIE SUPRAMOLAIRES DES CONJUGUES





Bio-délivrance contrôlée ?

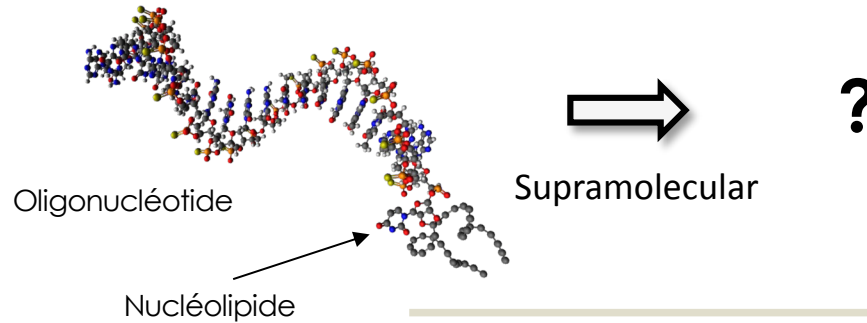


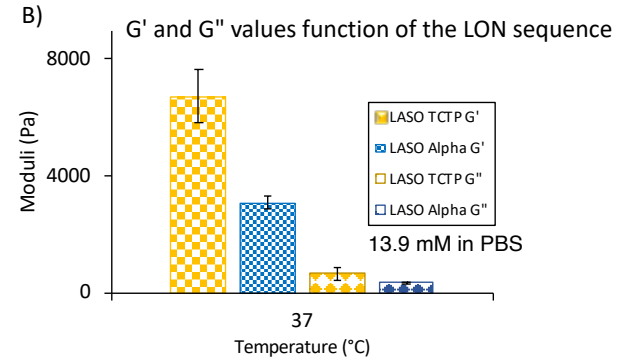
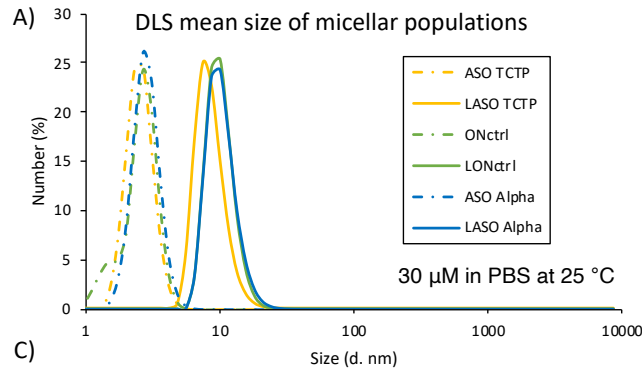
Table 1 Sequences of tested ONs and LONs

Name ^a	Length (mers)	Sequence (5'→3')
ASO _{TCTP}	20	5' AAC TTG TTT CCT GCA GGT GA 3'
LASO _{TCTP}	21	5' (C ₁₅)U* AAC TTG TTT CCT GCA GGT GA 3'
ASO _α	25	5' GCG CAG TGA TTT TTT AAC CAT GGG A 3'
LASO _α	26	5' (C ₁₅)U*GCG CAG TGA TTT TTT AAC CAT GGG A 3'
ON _{Ctrl}	19	5' CGT GTA GGT ACG GCA GAT C 3'
LON _{Ctrl}	20	5' (C ₁₅)U* CGT GTA GGT ACG GCA GAT C 3'

^a LONs being 5' conjugates of the ON sequence with ketal bis-C₁₅ lipid.



Etudes physico-chimique des ON/LON

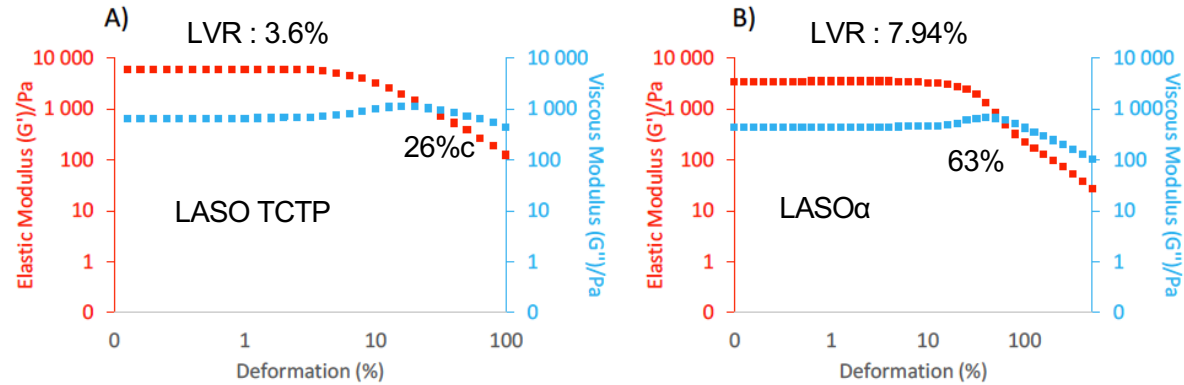
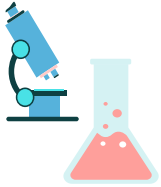


	Size (nm)	G' (Pa)	G'' (Pa)	LVR (%)	Breaking point (%)	Thixotropy
ASO _{TCTP}	3.16 \pm 0.41			No Gelation		
LASO _{TCTP}	14.12 \pm 0.17	6740 \pm 927	684 \pm 21	3.16	26 \pm 5	Yes
ON _{ctrl}	3.52 \pm 0.55			No Gelation		
LON _{ctrl}	14.35 \pm 0.56			No Gelation		
ASO _{α}	3.91 \pm 0.34			No Gelation		
LASO _{α}	15.05 \pm 0.48	3088 \pm 225	368 \pm 2	7.94	63 \pm 8	Yes



Viscoelastic properties

Amplitude sweep experiments



Amplitude sweep experiments of hydrogels at 13.9 mM (T° 37°C, 1 Hz, shear strain 0.01% to 100%).

LASO α is a tougher material compared to LASO TCTP

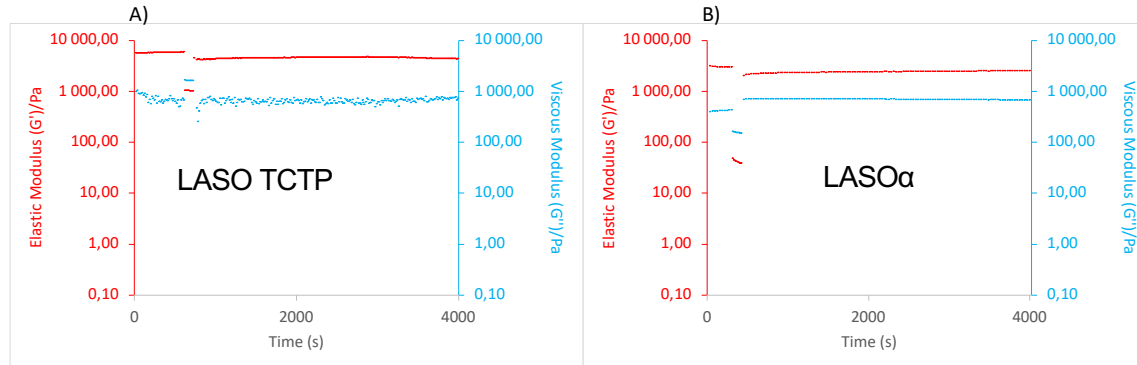
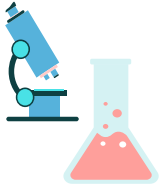


Viscoelastic properties are sequence dependent



Viscoelastic properties

Step-strain measurements

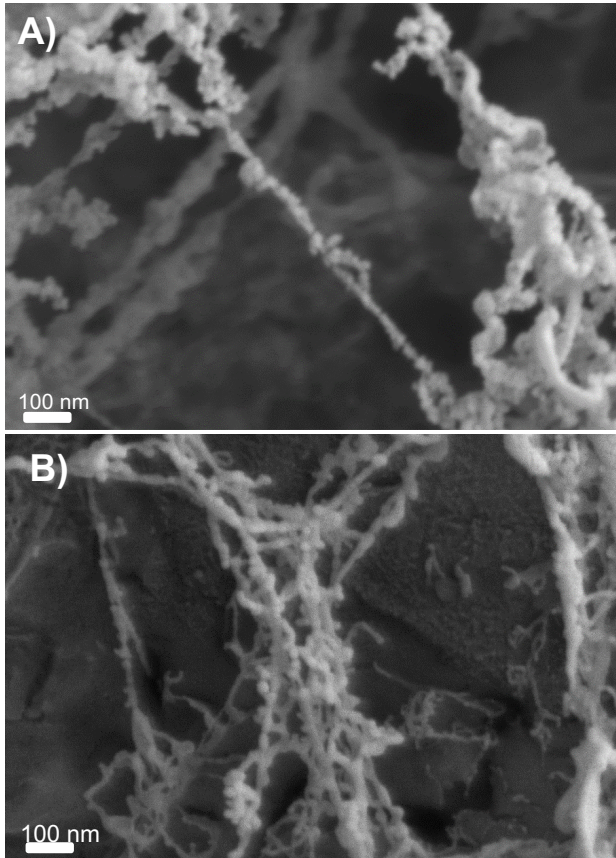


Step-strain experiments of A) LASOTCTP and B) LASO α hydrogels (13.9 mM) at 37°C and with a fixed angular frequency of 1 Hz. The gels were swept from 0.03% (structuration step) to 30% (destructuration step) shear strain and then back to 0.03% (structuration step) shear strain.



Both LASO α and LASO TCTP biomaterials are **thixotropic**

Gel morphologies

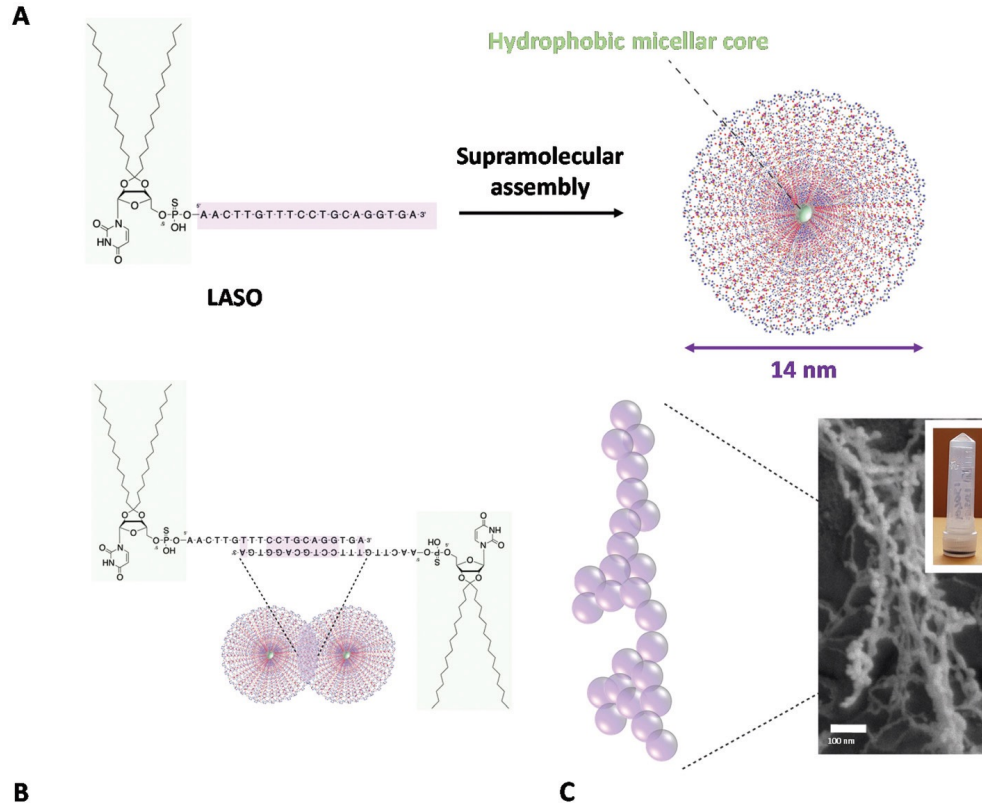


LASO α and LASO_{TCTP} – based gel exhibited dense supramolecular networks with fibers of 10–20 nm in diameter.

Non-gelator molecules (LON_{Ctrl}), cryo-SEM images showed simple micellar systems of 10–20 nm in size

Cryo-SEM images of (A) LASO α , (B) LASOTCTP at 13.9 mM in PBS 1 \times (scale bar 100 nm)

Supramolecular systems



Micelle-micelle supramolecular interactions stabilizing an entangled pearl-necklace network at the nanoscales

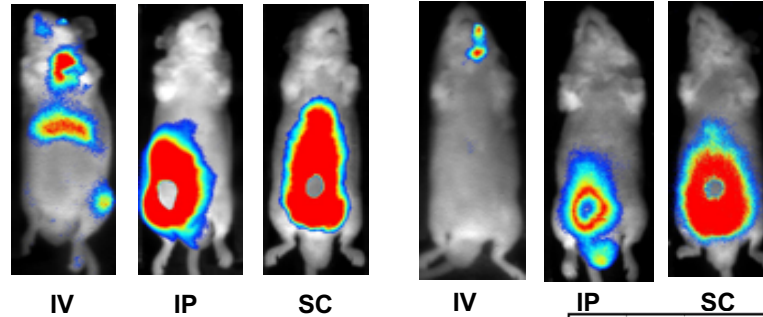
Hydrogels

In vivo injection

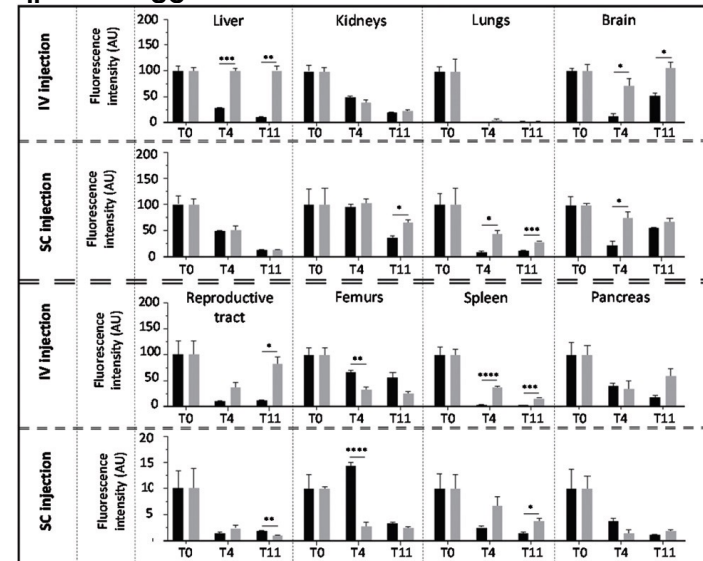
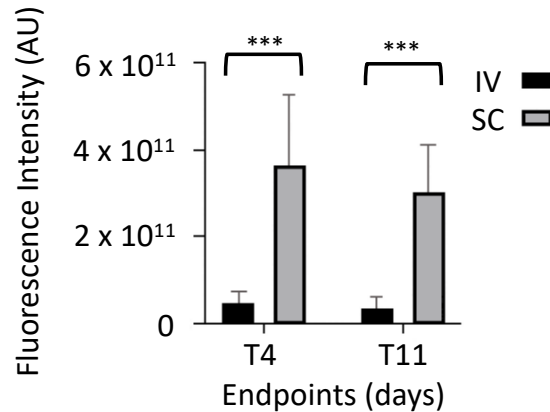
T0

T11

LASO_{TCTP}

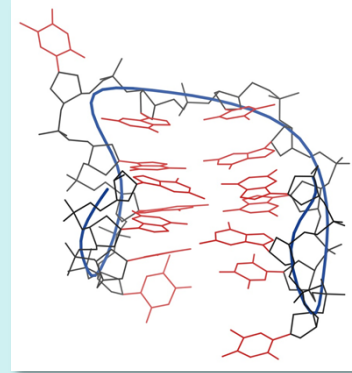


Whole mice LASO IV/SC

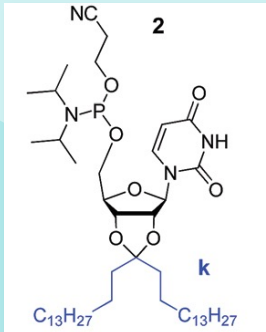


Fluorescence intensity on mice organs after IV and SC administrations of Cyanine 5 – LASOTCTP (grey)/ASOTCTP (black) (n = 5).

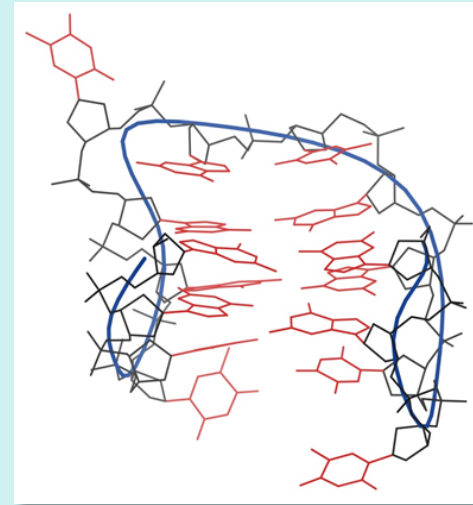
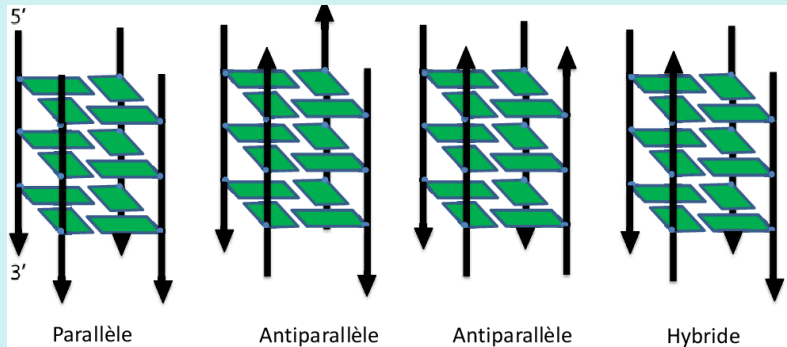
Contrôle de la conformation ?



Cas du TBA
(aptamère de la thrombine, anticoagulant)

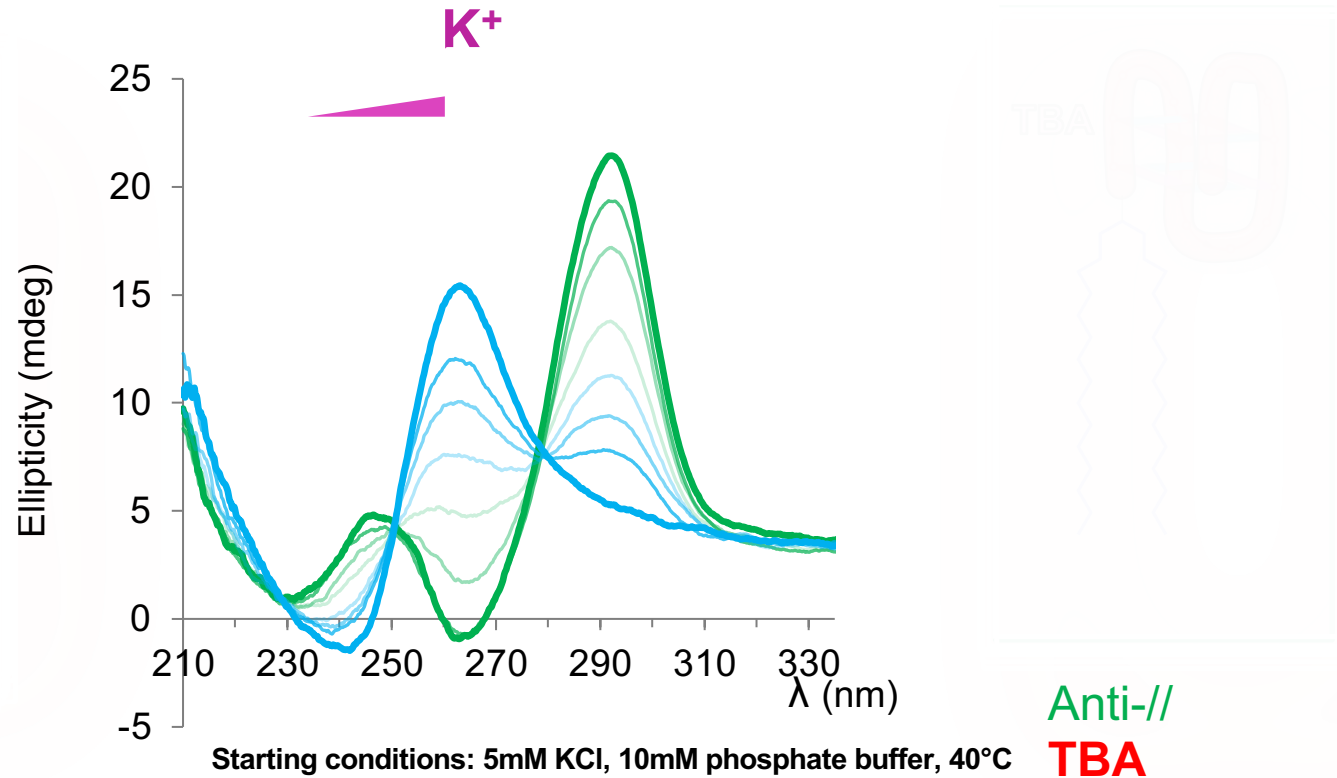


Structure des G-quadruplexes parallèle, hybride et antiparallèle



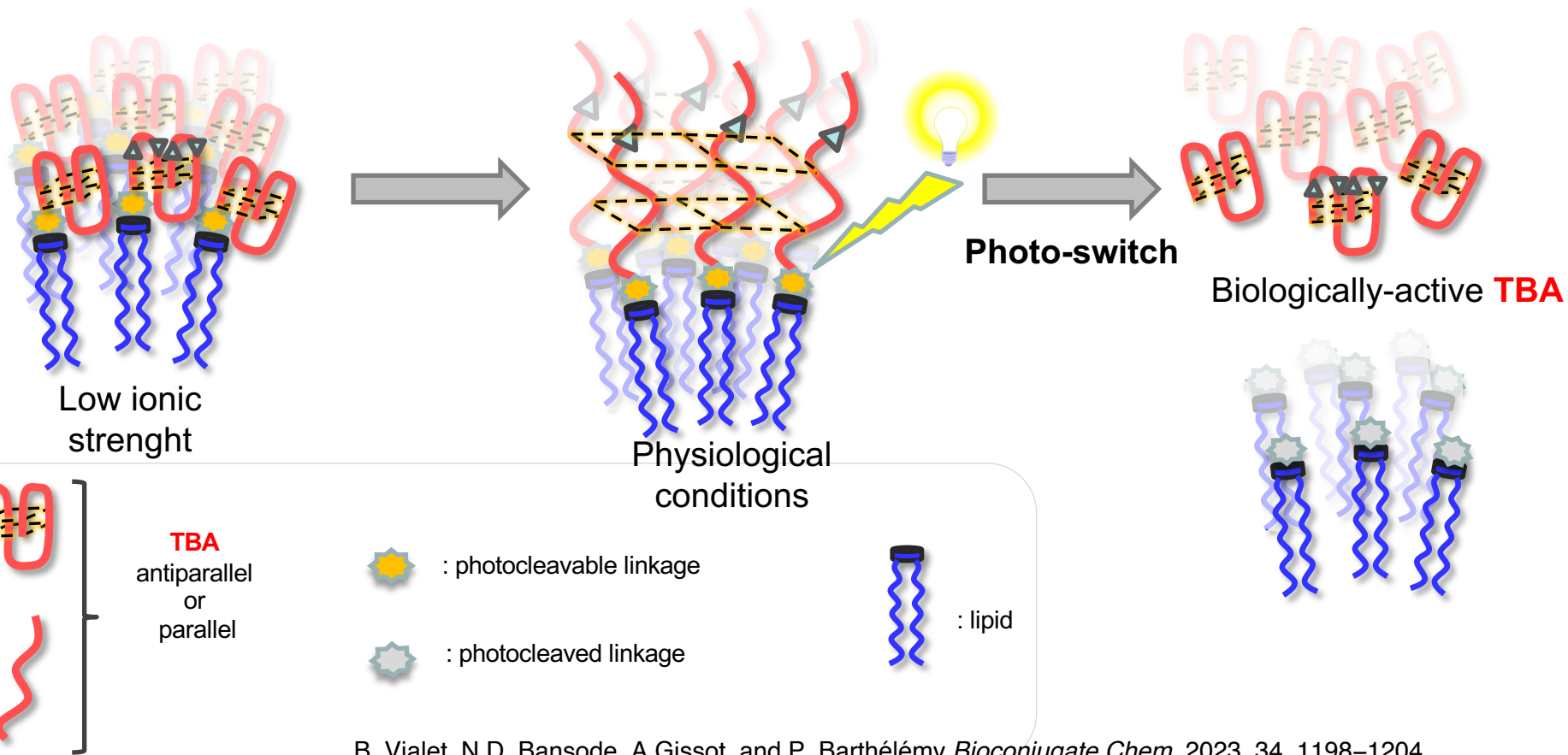
L'aptamère de la thrombine (TBA) est antiparallèle

Contrôle des topologies de G4 ?

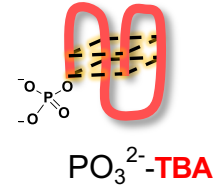
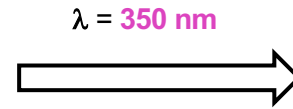
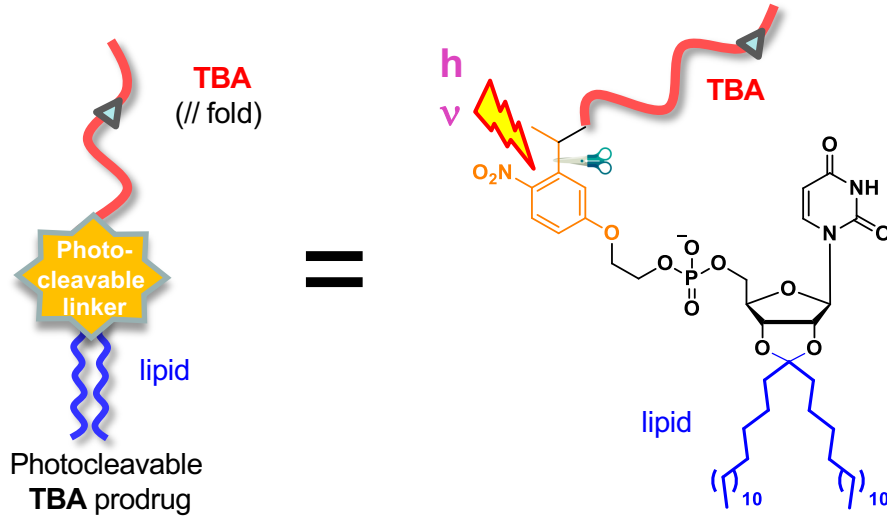


- The parallel form of TBA could act as a prodrug provided the process can be reversed

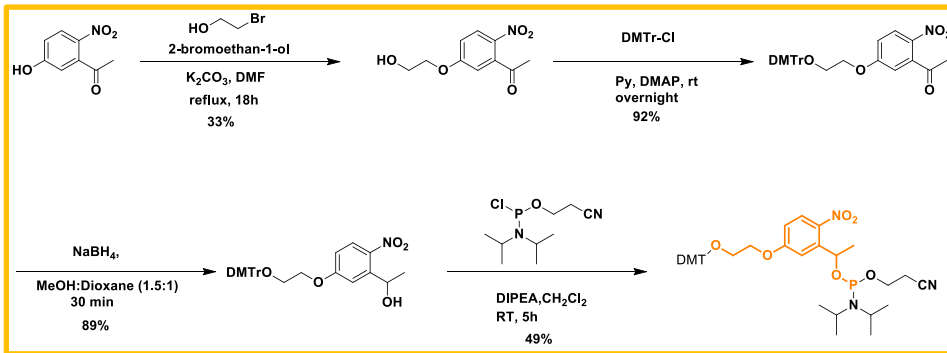
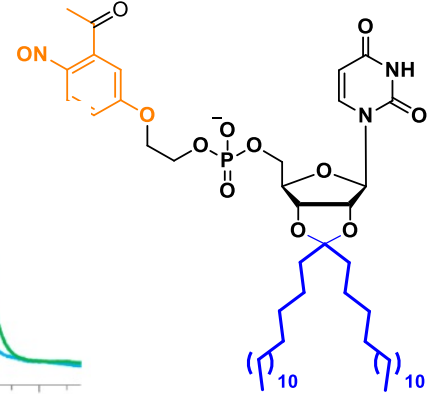
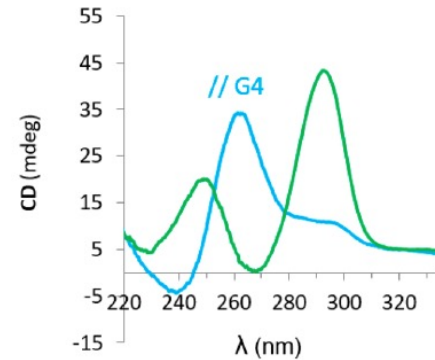
Toward a photo cleavable TBA prodrug



Toward a photo cleavable TBA prodrug



- 1) Cleavage ?
- 2) Conformational Switch ?



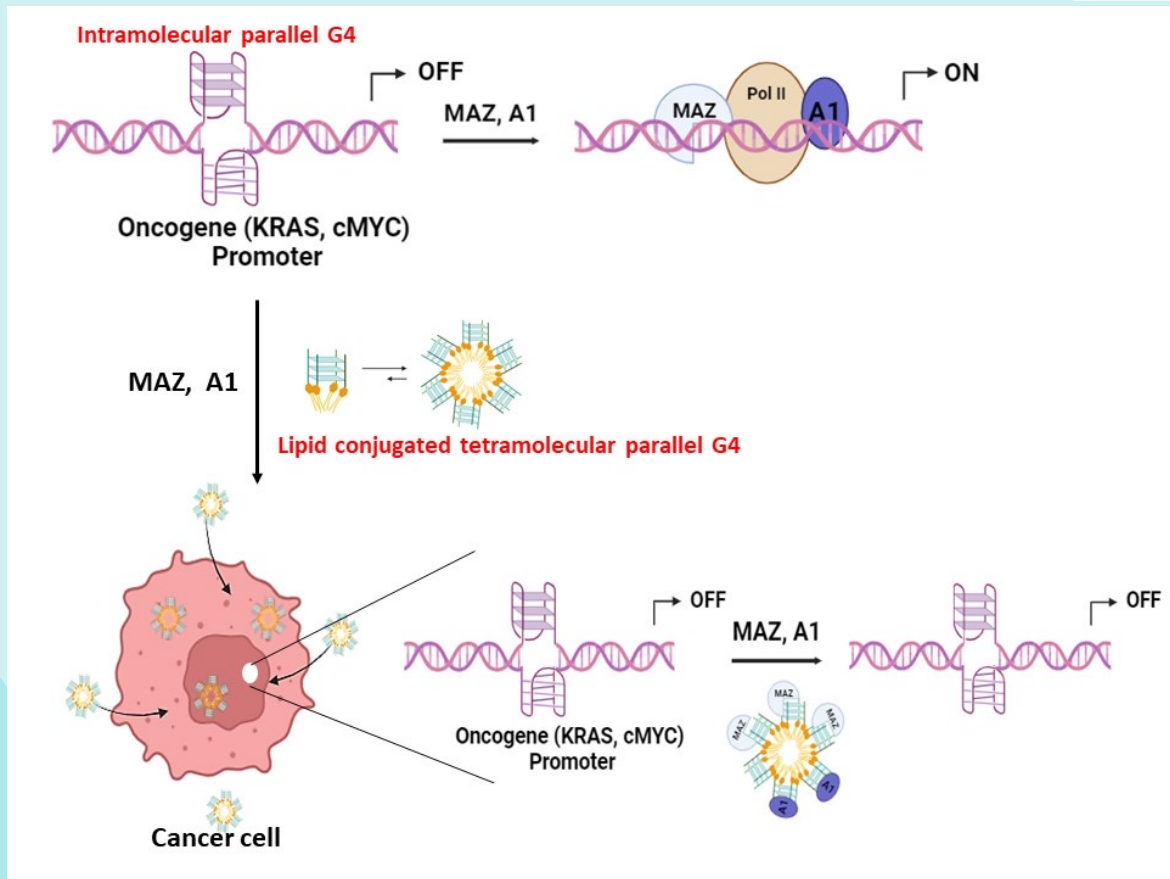


Contrôle de la conformation



Impact sur l'activité biologique ?

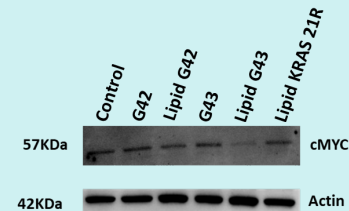
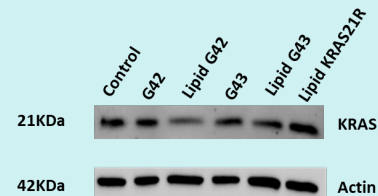
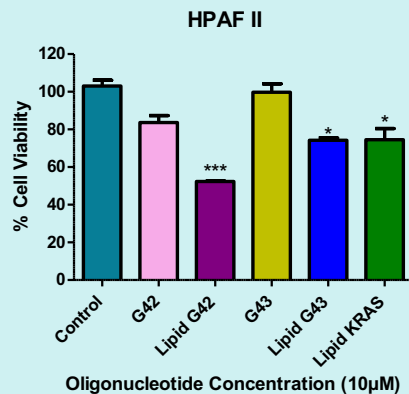
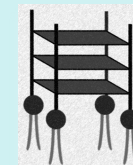
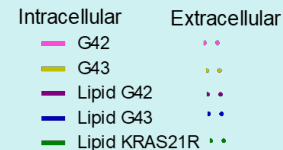
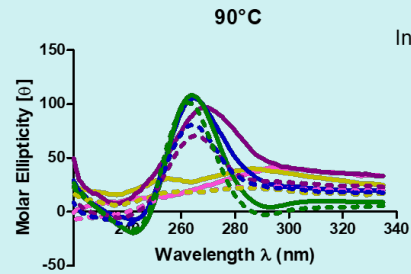
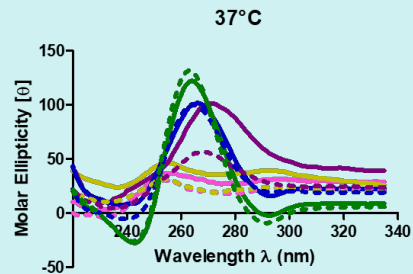
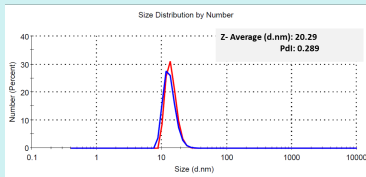
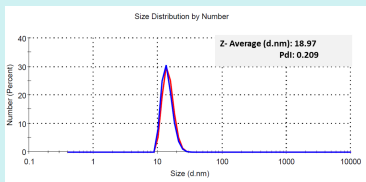
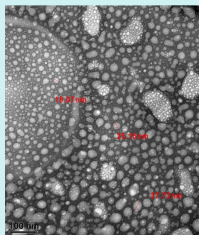
Nucleolipid-modified G4-decoy oligonucleotides as anticancer drug?



Challenges

- ✓ Stability
- ✓ Controlling the topology
- ✓ Delivery into cells

Nucleolipid-modified G4-decoy oligonucleotides as anticancer drug?



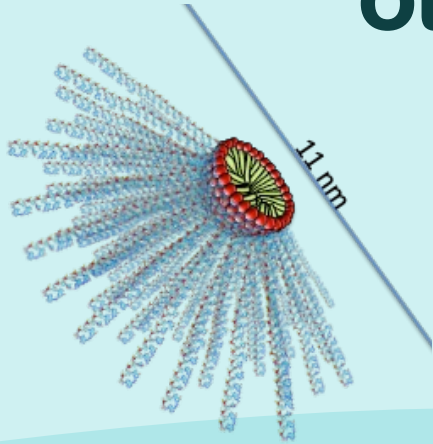
Conjugués lipidique

- ✓ Stabilise des G4 parallèle dans les conditions extra et intra cellulaire
- ✓ Autorise l'internalisation dans les cellule
- ✓ Diminution de l'expression des Oncogènes KRAS et cMYC

CONCLUSION



Oligonucléotides bioconjugués



- ✓ “Self-delivery” des sequences ASOs *in vitro* et *in vivo* sans agents de transfection (pas de formulation)
- ✓ les LASOs sont des NCE (New Chemical Entities)
- ✓ API for Nano-formulation (co-delivery)
- ✓ Responsive nanomaterials
- ✓ Control of G4



InsermTransfert

ARNA



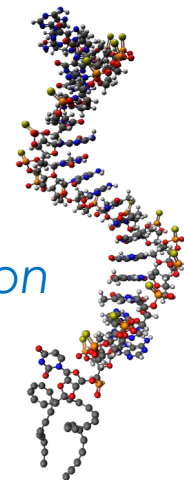
Inserm



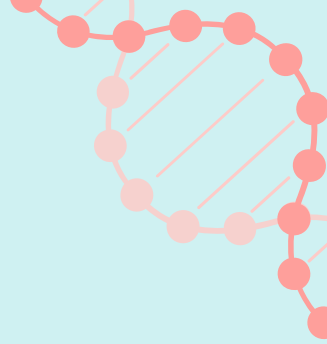
université
de BORDEAUX



*Merci
pour votre attention*

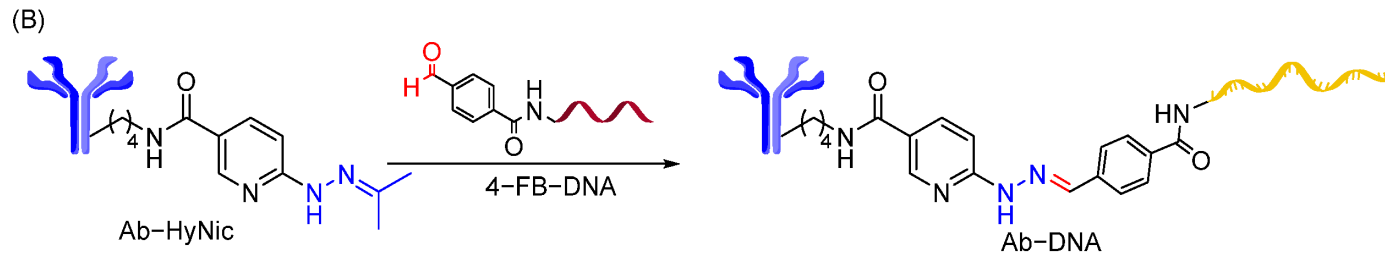
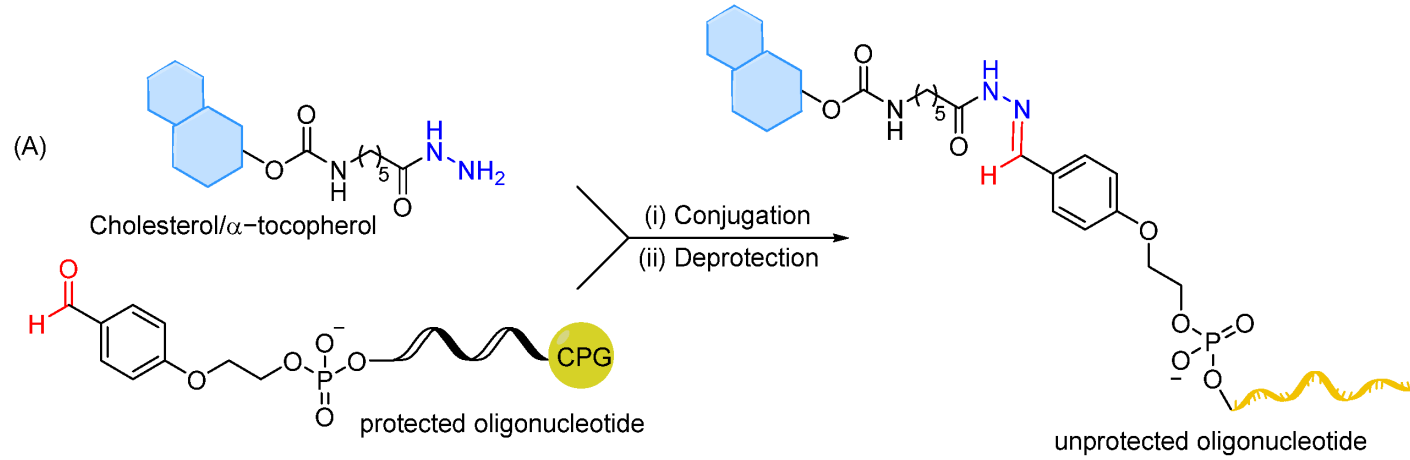


ANNEXES



Contexte des conjugués des acides nucléiques

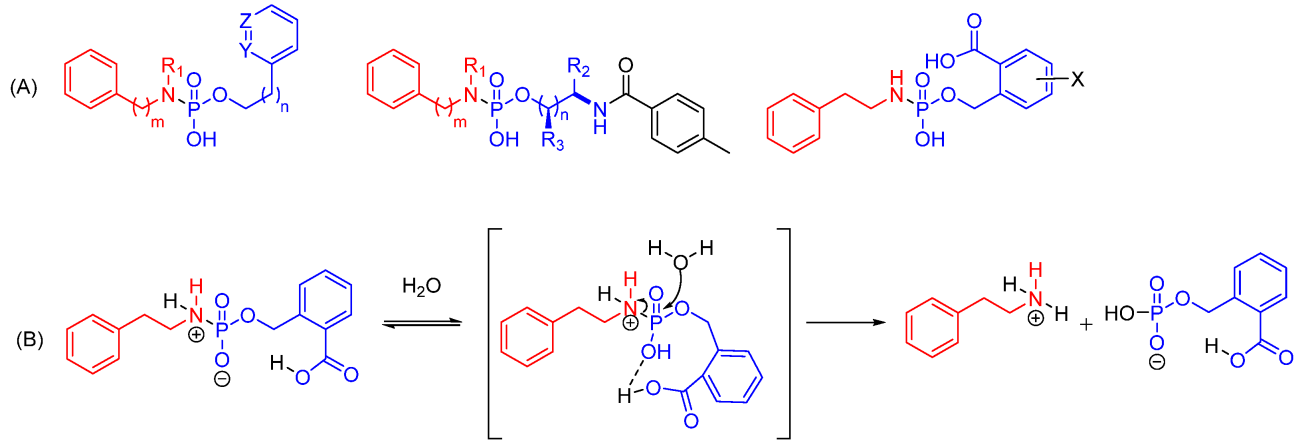
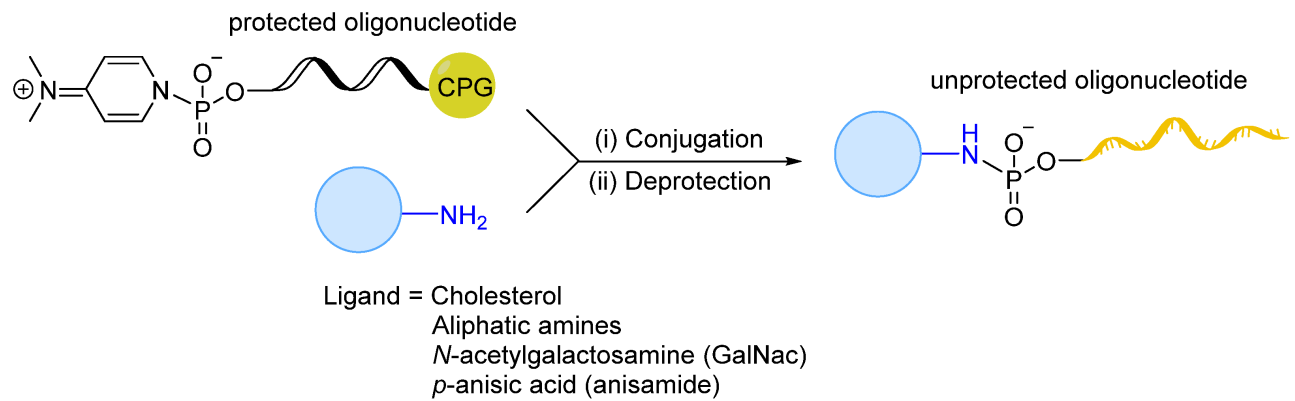
Conjugués peptide-oligonucleotides



Contexte des conjugués des acides nucléiques

Conjugués peptide-oligonucleotides

pH sensitive linker

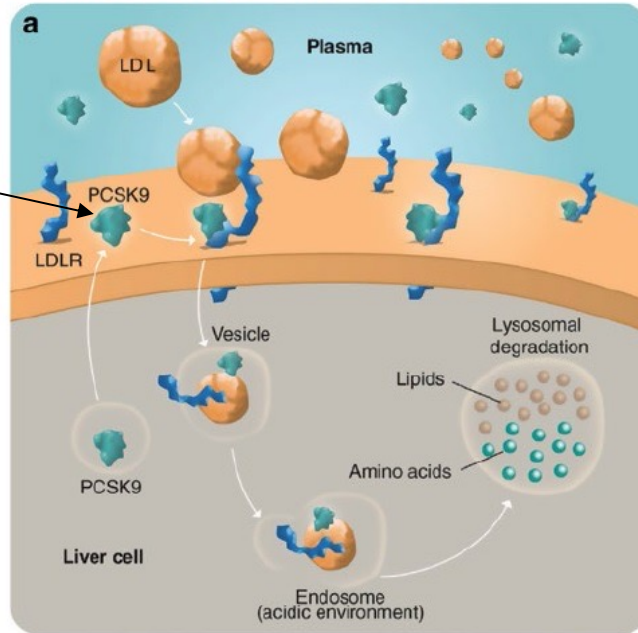


The increased cardiovascular disease (CVD) risk is not satisfactorily addressed by current therapeutic approaches based on statins.

=> PCSK9
=> Apo(a)

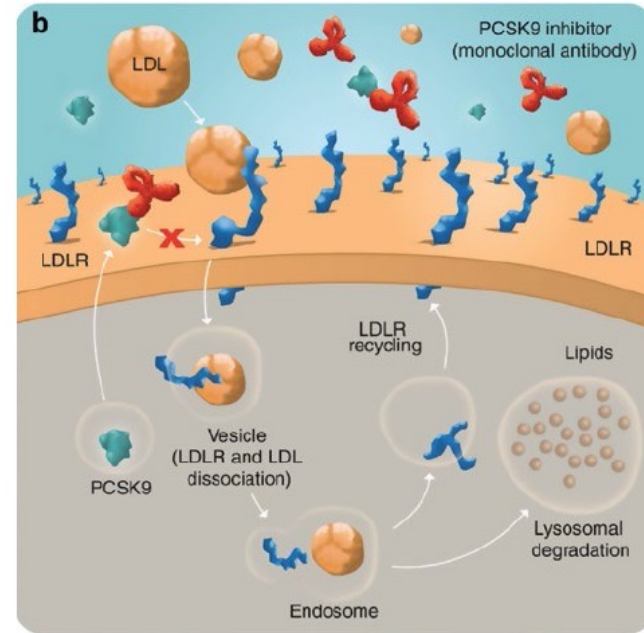
PCSK9

How does PCSK9 work?



a) Secreted PCSK9 binds to LDLR on the liver cell surface and mediates the lysosomal degradation of the complex formed by PCSK9 - LDLR - LDL.

How does Inhibitors work?



b) In the presence of a monoclonal antibody that binds to PCSK9, the PCSK9-mediated degradation of LDLR is inhibited, resulting in an increased uptake of LDL-cholesterol by LDLR as more LDLR are recycled at the cell surface.

Source: Krähenbühl S, et al. Unmet Needs in LDL-C Lowering: When Statins Won't Do! *Drugs*. 2016 Aug;76(12):1175-90



Palma Rocchi

*Article*

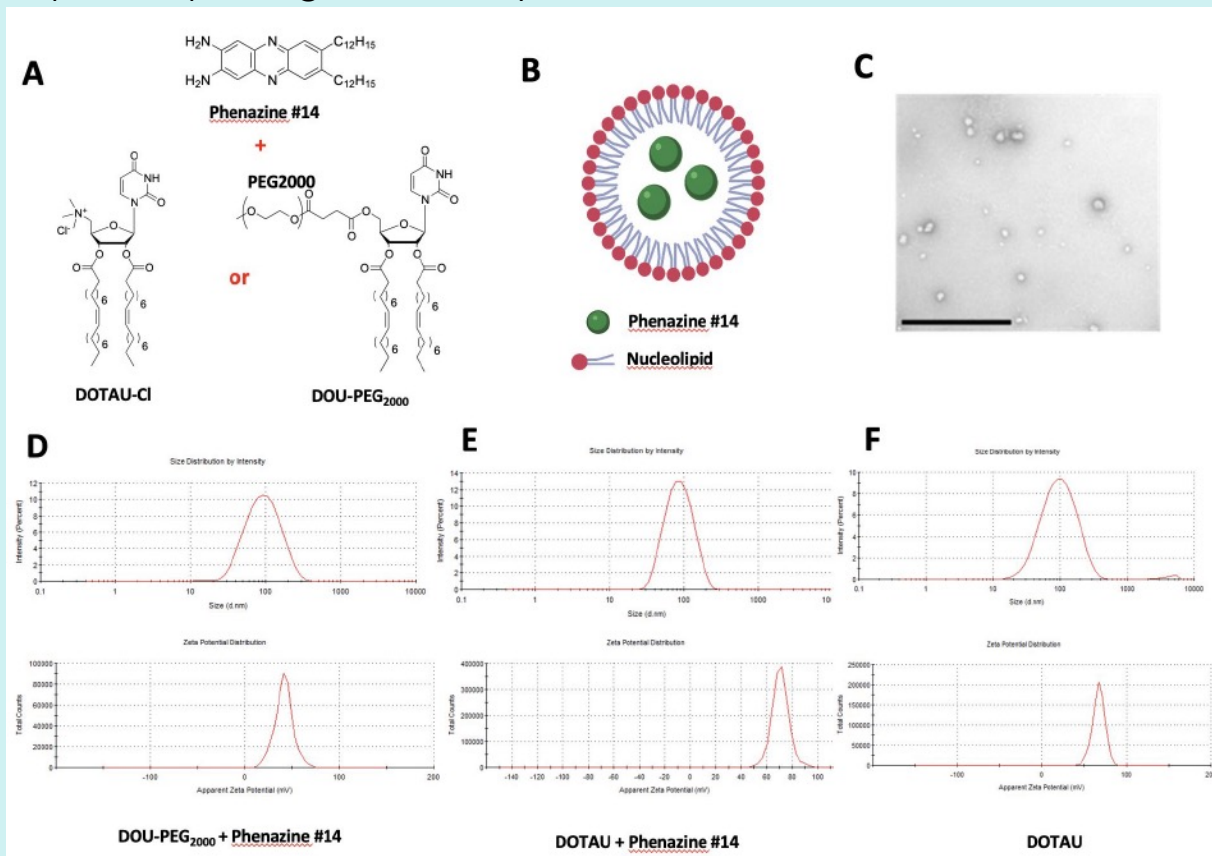
Nucleoside-Lipid-Based Nanoparticles for Phenazine Delivery: A New Therapeutic Strategy to Disrupt Hsp27-eIF4E Interaction in Castration Resistant Prostate Cancer

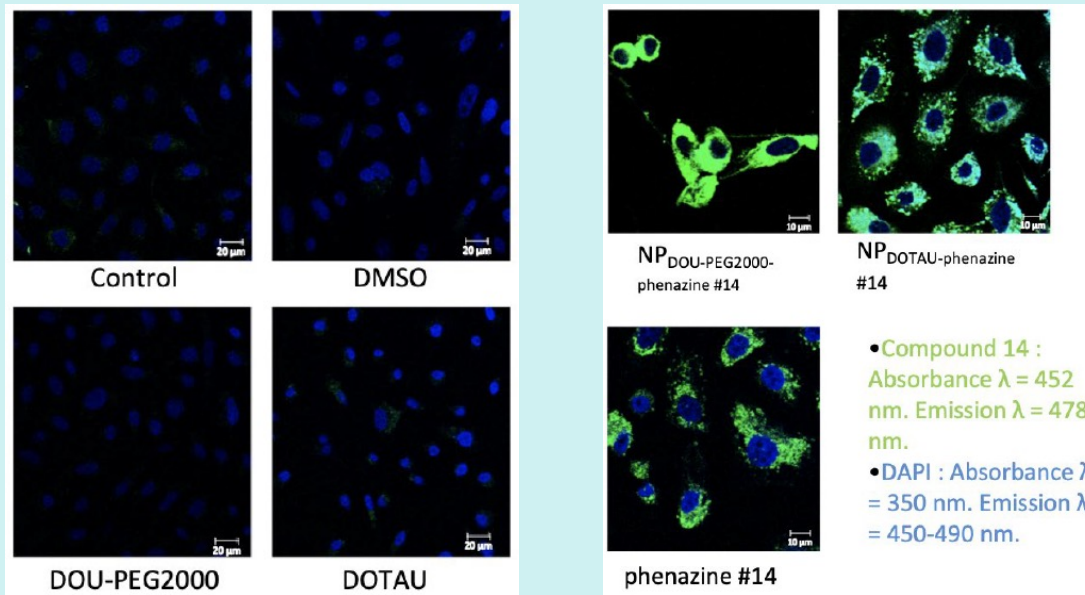
Hajer Ziouziou ^{1,2,†}, Clément Paris ^{1,†}, Sébastien Benizri ³, Thi Khanh Le ¹, Claudia Andrieu ¹, Dang Tan Nguyen ¹, Ananda Appavoo ³, David Taïeb ^{1,4}, Frédéric Brunel ⁵, Ridha Oueslati ², Olivier Siri ⁵, Michel Camplo ⁵, Philippe Barthélémy ^{3,*} and Palma Rocchi ^{1,*}

Pharmaceutics **2021**, *13*, 623.

<https://doi.org/10.3390/pharmaceutics13050623>

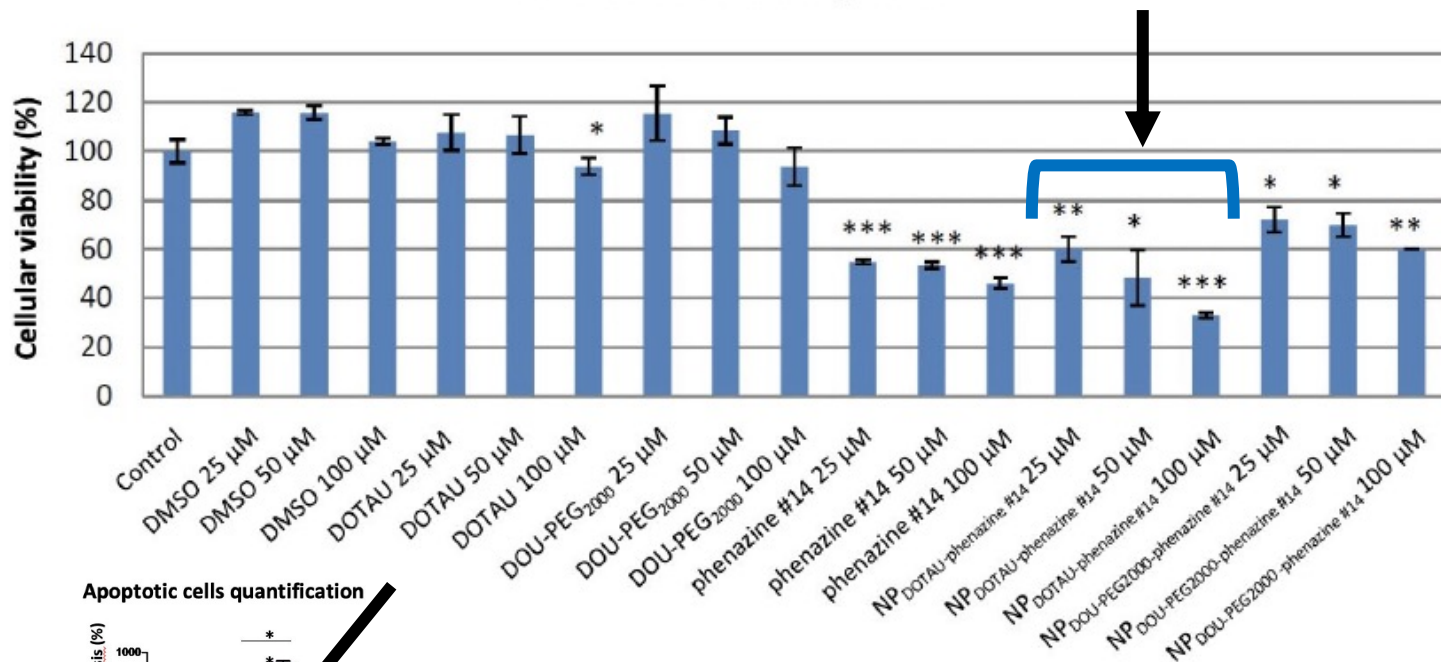
Topic 2 Improving the delivery of APIs



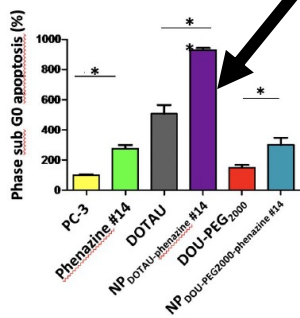


Confocal microscopic distribution of phenazine #14, NPDOU-PEG2000-phenazine #14, and NPDOTAUphenazine #14. PC-3 cells were treated at 100 μ M with phenazine #14 (last panel), NPDOTAU-phenazine #14 (right panel), and NPDOU-PEG2000-phenazine #14 (left panel) with DMSO (upper right panel) as control.

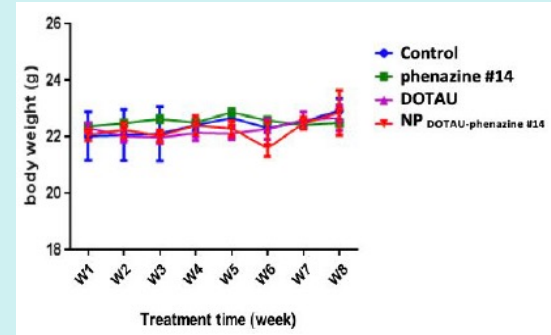
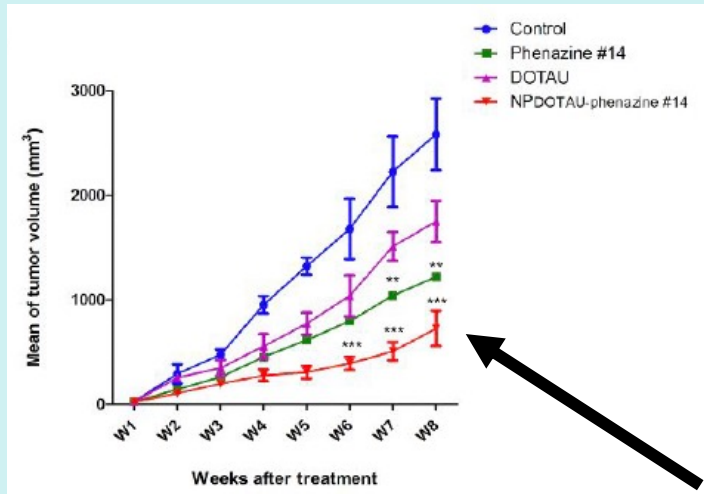
PC-3 MTT viability Test



Apoptotic cells quantification



NPDOTAU-phenazine #14 inhibits cell viability and increases apoptosis of PC-3 cells in vitro



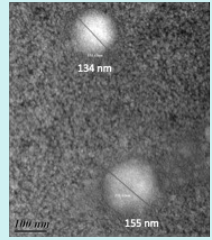
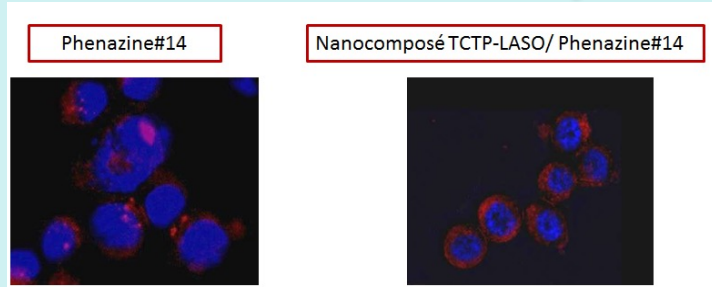
NP DOTAU-phenazine #14
Impact on tumor volume evolution in vivo

Conclusion

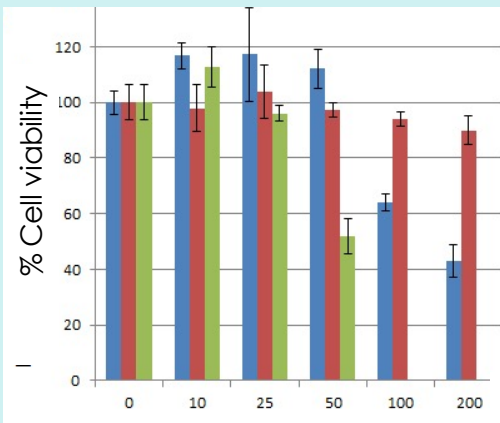
NP DOTAU-phenazine #14 can disrupt Hsp27/eIF4E interaction and treat CRPC with a good clinical tolerance of preclinical models

Eucaryote initiation factors -> therapeutic targets

Alternative strategy



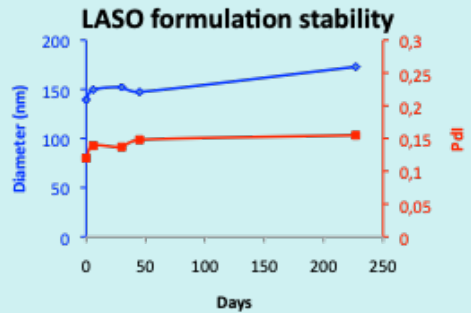
LASO + anticancer Drug
(Phenazine, inhibitor interactions
HSP27-eIF4E, inhibit translation)



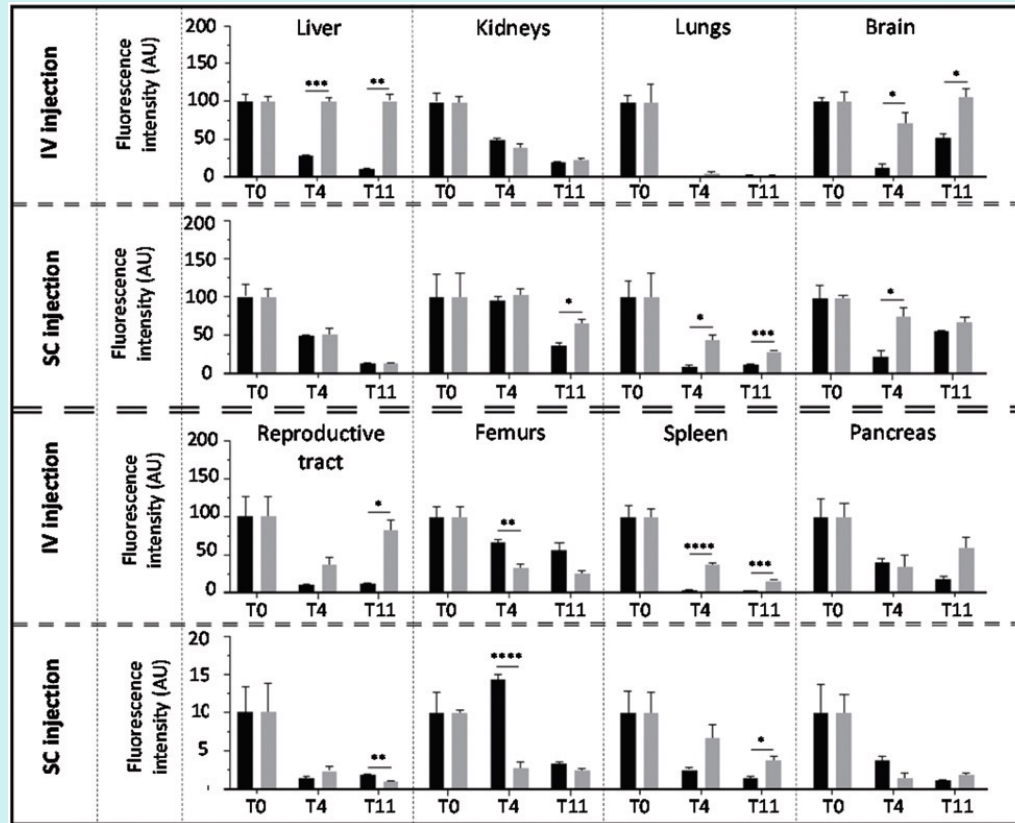
Cancer cells
Prostate cancer PC3
Resistant

■ Ph 14
■ DMSO
■ Nano ph 14/TCTP-LASC

Phenazine in μM



Strong synergism effect of
the nanoformulations



Fluorescence intensity on mice organs after IV and SC administrations of Cyanine 5 – LASOTCTP (grey)/ASOTCTP (black) (n = 5). Twofactor ANOVA analysis followed by a Tukey test. *: $p < 0.05$; **: $p < 0.01$; ***: $p < 0.001$ and ****: $p < 0.0001$.